

УДК 539.14; 539.17

# РЕЛЯТИВИСТСКИЕ ЯВЛЕНИЯ В ДЕЙТРОНЕ И ПРОЦЕССЫ ЕГО ФРАГМЕНТАЦИИ НА НУКЛОНЕ

Г.И.Лыкасов

Объединенный институт ядерных исследований, Дубна

Рассмотрены релятивистские явления в дейтроне, взаимодействие его с нуклонами при высоких и промежуточных энергиях, а также кварковые эффекты. Кратко изложен метод диаграммной техники Вайнберга на световом фронте. Проведен анализ  $dN$ -взаимодействий в рамках этого подхода, рассмотрены процессы фрагментации дейтрана, жесткого  $NN$ -рассеяния в  $p\bar{d}$ -взаимодействиях. Проведено сравнение теории с экспериментом, сделаны предсказания новых экспериментов.

The review is presented of the relativistic phenomena in a deuteron, its interactions with nucleons at high and intermediate energies, as well as quark effects in a deuteron. The method of Weinberg's diagram technique at the light cone is briefly reviewed. Then this approach is applied to the deuteron-nucleon processes: the fragmentation of a deuteron and hard  $NN$  collision by  $dN$  interaction. The comparison of the theory with experimental data and predictions for new experiments are made.

## ВВЕДЕНИЕ

Исследование взаимодействия дейтронов с нуклонами и ядрами при высоких энергиях в последнее время стало чрезвычайно актуальным. Особый интерес проявляется к таким процессам, которые позволили бы получить дополнительную информацию о структуре дейтрана. Это процессы фрагментации дейтрана на разных мишениях, т.е. стриппинг  $dN \rightarrow pX$ ,  $dA \rightarrow pX$  [1—3], жесткое рассеяние [4—7], рождение адронов  $h$  в процессах  $Nd \rightarrow hX$  в кинематической области, запрещенной для реакции  $NN \rightarrow hX$  на свободном нуклоне, так называемые кумулятивные процессы [1,4,8]. С такой же целью изучают и процессы упругого и квазиупругого [9,10]  $ed$ -рассеяния, глубоконеупругое  $ed$ -взаимодействие [11,12] и др.

Исследуя подобные процессы в кинематической области, соответствующей малым внутридейтронным расстояниям, авторы многих работ пытаются извлечь информацию о кварковой структуре дейтрана из сравнения результатов теоретических расчетов с экспериментальными данными. Существует ряд подходов к описанию кварковой структуры дейт-

рона [2,13,14]. Довольно часто используется нерелятивистская, так называемая гибридная модель [14] для учета шестиваркового состояния дейтрана. Однако, как показано в [13,15,17], релятивистские эффекты чрезвычайно важны, особенно в области малых внутридейтронных расстояний [17], хотя однозначной процедуры релятивизации волновой функции дейтрана (ВФД) до сих пор нет. В связи с этим возникает вопрос, насколько правдоподобны результаты описания экспериментальных данных и новые предсказания, выполненные в рамках гибридной кварковой модели, если кварковая структура дейтрана изучается в рамках нерелятивистского потенциального подхода [14].

Кроме того, авторы работ [16,18,19], исследуя структуру дейтрана на малых внутридейтронных расстояниях, пользуются простейшим полюсным приближением или даже спектаторным механизмом при анализе вышенназванных процессов. В то же время, как показано в [20—23], одним полюсным приближением и тем более одним спектаторным механизмом ограничиваться нельзя при исследовании  $Nd$ - и  $ed$ -процессов, в определенных кинематических областях довольно значительными оказываются вклады неполюсных неспектаторных графиков.

Поэтому в предлагаемом читателю обзоре анализируется роль этих очень важных явлений при исследовании  $dN$ -взаимодействий в области промежуточных и высоких энергий: релятивистские эффекты в дейтране и механизм  $dN$ -реакции. Релятивистские эффекты в дейтране рассматриваются в данном обзоре в рамках устоявшихся подходов, предложенных ранее разными авторами [13,15,16,18,19,24,25]. Для анализа механизма  $dN$ -взаимодействия при высоких энергиях предложен подход [17], основанный на диаграммной технике Вайнберга в системе бесконечного импульса (СБИ) [26—28], учитывающий релятивизацию ВФД. Преимущество такого рассмотрения по сравнению с другими состоит в том, что оно, с одной стороны, позволяет получить выражение для амплитуды  $dN$ -процесса, зависящее явно только от релятивистски-инвариантных переменных, а с другой стороны, такой подход технически более прост при вычислении матричных элементов  $dN$ -реакций по сравнению с расчетом фейнмановских диаграмм.

План изложения в настоящем обзоре следующий. В разд.1 дан краткий обзор разных методов релятивизации ВФД, особое место уделено обсуждению ковариантного подхода, предложенного В.Кармановым [15]. В разд.2 изложена суть диаграммной техники Вайнберга [27,28] и ее применение к анализу дейтран-нуклонных процессов. В разд.3 рассматриваются конкретные процессы  $dN$ -взаимодействия: а) фрагментация дейтрана  $dN \rightarrow pX$ , б) «жесткое»  $dN$ -рассеяние.

Приведены результаты расчетов различных наблюдаемых величин, в том числе и поляризационных характеристик, сравнение теории с экспер-

риментом, новые предсказания. В разд.4 рассмотрен один из подходов к исследованию ненуклонных степеней свободы в дейтроне. И, наконец, в разд.5 сделаны основные выводы из изложенного в предыдущих главах, показана важность исследования  $dN$ -процессов в кинематической области, соответствующей малым внутридейтронным расстояниям. Обсуждаются перспективы теоретического и экспериментального исследования структуры дейтрона.

## 1. РЕЛЯТИВИСТСКИЕ ЭФФЕКТЫ В ДЕЙТРОНЕ

В этом разделе мы хотим кратко изложить два подхода [13, 15, 16, 18, 19] к проблеме релятивизации ВФД. Вначале попытаемся понять, основываясь на вышеупомянутых работах, от каких переменных она должна зависеть.

В общем релятивистском случае дейтронная вершина  $dNN$  не сводится только к диссоциации дейтрона на два нуклона, она может включать в себя еще аннигиляцию  $Nd \rightarrow NN$ , поэтому распадную вершину дейтрона не всегда можно свести к обычной волновой функции дейтрона, квадрат которой есть вероятность найти нуклон в дейтроне с определенным импульсом. Как известно, фейнмановский график  $n$ -го порядка эквивалентен  $n!$  графикам, упорядоченным во времени, старой теории возмущений (СТВ). Если  $dN$ -процессы рассматривать в системе бесконечного импульса (СБИ), то многие графики в СТВ дают вклад порядка  $1/P$ , где  $P$  — суммарный импульс начальных частиц, поэтому при  $P \rightarrow \infty$  ими можно пренебречь. Остаются только те диаграммы, которые соответствуют диссоциации дейтрона на два нуклона [27—29].

На рис.1 для примера приведены фейнмановская диаграмма процесса  $dN \rightarrow NNN$  (рис.1,*a*) и эквивалентные ей две диаграммы СТВ, упорядоченные во времени  $t$  (рис.1,*b*,*c*).

Диаграмма рис.1,*a* ведет себя как  $1/P^2$ , если  $NN$ -вершина не зависит от спина [27—29], т.е. убывает с ростом  $P$ . Если же учесть спиновую зависимость  $NN$ -взаимодействия, то вклад диаграммы будет убывать как  $1/P$  [27—29].

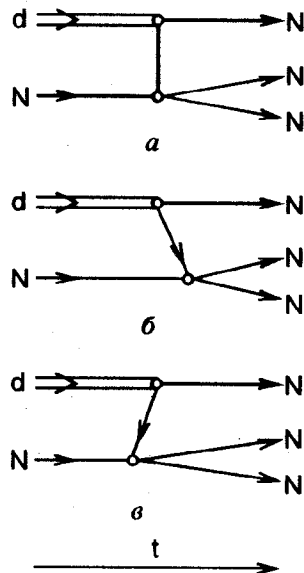
Поэтому можно ввести понятие волновой функции дейтрона с обычной вероятностной интерпретацией. Но возникает вопрос: от каких переменных она должна зависеть? Согласно [18, 19, 30]  $\Psi$  зависит от

$$k^2 = \frac{m_{\perp}^2}{4x(1-x)} - m^2,$$

где  $x$  — переменная светового фронта, которая связана с импульсом протона-спектратора  $q$ , вылетающего назад в системе покоя дейтрона (нук-

Рис.1. Фейнмановские диаграммы процесса  $dN \rightarrow NNN$  и эквивалентные графики старой теории возмущения

лон-спектатор соответствует линии, выходящей из верхней вершины диаграммы рис.1,*a* или 1,*б*, следующим образом [8,13]:  $x = (E(q) + q)/(2m)$ ;  $E(q) = \sqrt{q^2 + m^2}$  — энергия протона-спектатора;  $m_\perp^2 = k_\perp^2 + m^2$ ;  $k_\perp$ ,  $m$  — поперечный импульс и масса внутридейтронного нуклона. Переменная  $k^2$  есть величина, пропорциональная разности энергий в  $dNN$ -вершине диаграммы рис.1,*б*, как отмечалось в работе [30], т.е.  $k^2 \sim P\Delta E$ , где  $\Delta E = E(p_d) - E(k_1) - E(k_2)$ . Последнее легко получить, если записать импульсы падающего дейтрана  $p_d$ , внутридейтронных нуклонов  $k_1$ ,  $k_2$  в СБИ:



$$p_d(P + M_d^2/2P, O_\perp, P);$$

$$k_1(xP + \frac{m_\perp^2}{2xP}, k_\perp, xP); \quad (1)$$

$$k_2((1-x)P + \frac{m_\perp^2}{2(1-x)P}, -k_\perp, (1-x)P).$$

Напомним, что в СТВ в каждой вершине диаграммы, например рис.1,*б*, *в*, трехимпульс сохраняется, а энергия — нет, хотя энергия и трехимпульс для всей реакции сохраняются. При этом все частицы, в том числе и в промежуточном состоянии, находятся на массовой поверхности. А в диаграммной технике Фейнмана в каждой вершине диаграммы, например рис.1,*а*, четырехимпульс сохраняется, но промежуточная частица с четырехимпульсом  $k_N$  — внemассовая, т.е.  $k_N^2 \neq m^2$ ,  $m$  — масса частицы.

В таком подходе [18,19] ВФД  $\Psi$  связана с нерелятивистской ВФД  $\Phi_{\text{n.p.}}$ , но зависящей от релятивистски-инвариантной переменной  $k^2$ :

$$\Psi(x, k_\perp) = \left( \frac{m_\perp^2}{4x(1-x)} \right)^{1/4} \Phi_{\text{n.p.}}(k^2). \quad (2)$$

При этом  $\Psi$  нормирована следующим образом:

$$\frac{1}{2} \int_0^1 \frac{dx}{x(1-x)} \int |\Psi(x, k_\perp)|^2 d^2 k_\perp = 1. \quad (3)$$

Есть другой, ковариантный подход релятивизации ВФД, предложенный в [15], который основан на трехмерной формулировке квантовой теории поля [26]. В нем сохраняется не только трехимпульс при развале дейтрана (см. рис.1,б), но и энергия, т.е. четырехимпульс в  $dNN$ -вершине сохраняется:  $k_1 + k_2 = p_d + \omega t$ , где  $t$  — отличный от нуля некий параметр, четырехвектор  $\omega$  определяет поверхность светового фронта. При этом все нуклоны находятся на массовой поверхности, т.е.  $k_N^2 = m^2$ . Графически  $dNN$ -вершина с законом сохранения энергии-импульса представлена на рис.2 [15]. Штриховая линия соответствует некой фиктивной частице — так называемому шпурону, впервые введенному В.Г.Кадышевским [26]. На рис.2 графически изображена так называемая «четыреххвостка», соответствующая амплитуде бинарной реакции  $1 + 2 \rightarrow 3 + 4$ . Тогда волновую функцию связанной системы, в

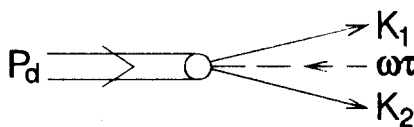


Рис.2. Вершина  $dNN$

частности дейтрана  $\Psi(k_1, k_2, P, \omega t)$ , можно построить аналогично построению амплитуды этой «четыреххвостки». Такое построение ВФ проводится в подходе, предложенном в [15]. В простейшем случае бесспиновых частиц, образующих связанную систему с полным моментом, равным нулю, ВФ, как и амплитуда указанной на рис.2 бинарной реакции, зависит от двух релятивистски-инвариантных переменных [15]:

$$s_1 = (k_1 + k_2)^2 = (p_d + \omega t)^2; \quad t_1 = (p_d - k_1)^2,$$

т.е.  $\Psi = \Psi(s_1, t_1)$ . В эквивалентном виде эта ВФ зависит еще от следующих переменных:  $\vec{q}^2$ ,  $\vec{q}\vec{n}$ , т.е.  $\Psi = \Psi(\vec{q}^2, \vec{q}\vec{n})$ , где  $\vec{q}$  — трехимпульс одного из нуклонов в их с.ц.м., где  $\vec{k}_1 + \vec{k}_2 = 0$ ;

$$q^2 = \frac{1}{4} s_1 - m^2 = \frac{m_\perp^2}{4x(1-x)} - m^2;$$

$$\vec{q}\vec{n} = (2m^2 + M_d^2 - s_1 - 2t_1)\sqrt{s_1}/(2s_1 - M_d^2);$$

$$\vec{n} = \vec{\omega}/\omega_0.$$

Если выбрать определенное направление СБИ, например  $\vec{p}_d \uparrow \downarrow \vec{n}$ , то ВФД будет зависеть от той же переменной  $k^2$ , указанной выше, что и в методах [18,19].

В общем спиновом случае ВФД на световом фронте, как показано в [15], имеет более сложную структуру, чем нерелятивистская ВФД: вместо двух  $S$ - и  $D$ -волн она определяется шестью релятивистско-инвариантными функциями. Увеличение числа функций происходит из-за того, что вектор  $\vec{n}$  участвует в построении момента дейтрана на равных правах с импульсом  $q$  [15]. Но если мы рассматриваем фрагментацию дейтрана вперед, то выделенное направление, соответствующее вектору  $\vec{n}$ , теряет смысл [15], и ВФД  $\Psi$  будет опять определяться  $S$ - и  $D$ -волнами, т.е. иметь такую же спиновую структуру, как и в нерелятивистском случае.

Кратко изложим суть еще одного метода учета релятивистских эффектов в дейтране [16], который в дальнейшем мы тоже будем использовать при анализе  $dN \rightarrow pX$  стриппинга, чтобы сравнить его с методами [13,15,18,19,25]. Он состоит в том, что  $dNN$ -вершина (см. рис.1,*a*) раскладывается по инвариантам [16]:

$$\Gamma_\alpha = k_\alpha(a_1 + a_2(m + \hat{k}_1)) + \gamma_\alpha(a_3 + a_4(m + \hat{k}_1)),$$

где  $\hat{k}_1 = k_{1\beta}\gamma_\beta$ ;  $k, k_1$  — четырехимпульсы реального, т.е.  $k^2 = m^2$ , и виртуального,  $k_1^2 \neq m^2$ , нуклонов дейтрана соответственно,  $\gamma_\alpha$  — компоненты матриц Дирака. В этом подходе, как видно из выражения для вершины  $\Gamma_\alpha$ , один нуклон — на массовой поверхности (с четырехимпульсом  $k$ ), а другой — на немассовой, виртуальной (с импульсом  $k_1$ ).

Есть еще ряд методов учета релятивистских эффектов в дейтране:  
 а) метод, основанный на решении уравнений Бете — Солпитера [31];  
 б) так называемый дисперсионный метод [32], основанный на технике дисперсионных соотношений; в) метод Лагранжа на световом фронте, рассматриваемый в работах [33,34].

## 2. ДИАГРАММАННАЯ ТЕХНИКА ВАЙНБЕРГА И ЕЕ ПРИМЕНЕНИЕ К $dN$ -ВЗАИМОДЕЙСТВИЮ

**Формализм Вайнберга.** Как уже отмечалось, в СБИ удобно пользоваться СТВ при анализе процессов взаимодействия частиц с составными системами, т.к. многие диаграммы, упорядоченные во времени, убывают как  $1/P$ , ими можно пренебречь при больших  $P$ ; и вычисление амплитуд рассеяния намного упрощается по сравнению с расчетами фейнмановских диаграмм. Диаграммная техника в СБИ впервые была предложе-

на Вайнбергом в 1966 г. [27]. Ее легко понять, если вспомнить связь фейнмановских диаграмм с упорядоченными во времени графиками СТВ. Для примера рассмотрим взаимодействие бесспиновых частиц типа  $\varphi^3$ . Матричный элемент такого взаимодействия можно вычислять по следующим правилам [27, 28]:

1. В фейнмановском графике  $n$ -го порядка каждой  $i$ -й вершине ставится в соответствие время взаимодействия  $t_i$ . Затем рисуются  $n!$  графиков, соответствующих всем перестановкам времен (и, соответственно,  $i$  вершин). В качестве примера на рис.3 изображен фейнмановский график третьего порядка по константе связи  $g$ , соответствующий шести графикам СТВ, упорядоченным во времени  $t$ .

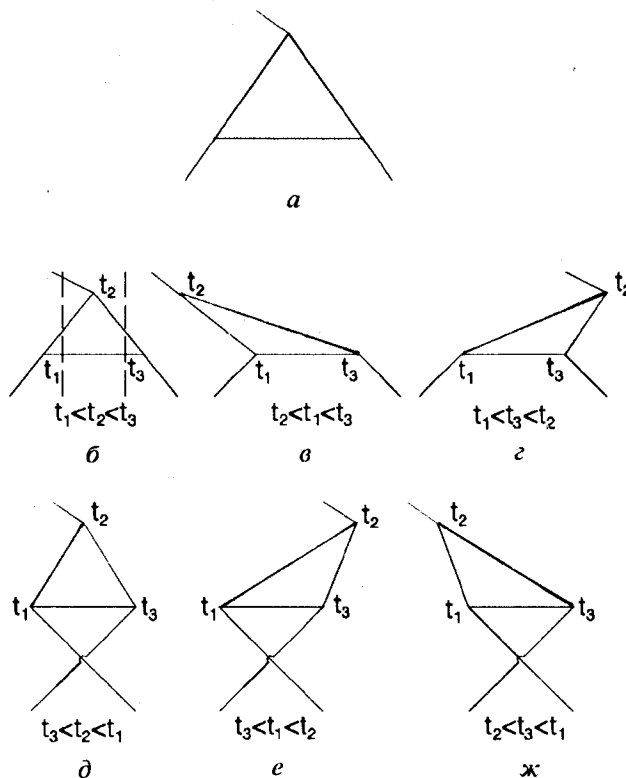


Рис.3. Фейнмановский график 3-го порядка (a) по константе связи  $g$  и соответствующие диаграммы СТВ, упорядоченные во времени (б—ж)

2. Каждая линия каждого времениупорядоченного графика ассоциируется с трехимпульсом  $p_i$ .

3. Для каждой вершины, исключая последнюю, записывается фактор  $(2\pi)^3 \delta^{(3)}(\sum_i p_i)$ , где  $\delta$ -функция выражает закон сохранения трехимпульса в этой вершине. Для последней вершины записывается только фактор  $g$ , а закон сохранения в этой вершине учитывать не нужно, т.к. он учитывается законом сохранения суммарных энергии и импульса всего процесса.

4. Для каждой внутренней линии ставится в соответствие фактор  $(2\pi)^{-3} (2E_i)^{-1}$ , где  $E_i$  — энергия частицы, соответствующей этой линии и находящейся на массовой поверхности, т.е.

$$E_i^2 = p_i^2 + m^2.$$

5. Для каждого промежуточного состояния, т.е. состояния между временами взаимодействия  $t_i, t_j$  (на рис.3 приведены вертикальные штрихпунктирные линии, разделяющие эти времена), определяется следующая функция Грина:

$$G = \frac{1}{E_{\text{inc}} - E_{\text{int}} + i\epsilon}; \quad (4)$$

где  $E_{\text{inc}}$  — полная энергия входящих частиц, а  $E_{\text{int}}$  — сумма энергий частиц в промежуточном состоянии (например, находящихся между вертикальными штрихпунктирными прямыми на рис.3).

6. Проводится интегрирование по всем внутренним линиям, т.е. по  $d^3 p_i$ .

7. Все времениупорядоченные графики суммируются.

Заметим, что сумма всех таких графиков СТВ дает фейнмановскую диаграмму данного  $n$ -го порядка, например третьего, как на рис.3, не зависящую от системы отсчета, хотя каждая из них зависит от выбора системы.

В СБИ выписанные правила вычисления матричного элемента процесса могут быть записаны в виде, зависящем от инвариантных переменных, переменной светового фронта  $x$  и  $k_\perp$ . Будем наблюдать процесс рассеяния, например, из системы, двигающейся с большой скоростью вдоль отрицательной оси  $z$ , тогда полный начальный импульс  $P$  будет тоже большим, но направленным вдоль положительной оси  $z$  (как на рис.2). Нетрудно показать, что в такой системе при  $P \rightarrow \infty$  каждый времениупорядоченный график либо имеет конечное значение, либо убывает и в пределе равен нулю.

Каждый трехимпульс, соответствующий  $i$ -й линии, можно представить в такой же СБИ, как и в 1 разделе, в следующем виде:

$$p_i = x_i P + k_{i\perp},$$

где  $x_i$  — доля продольного импульса  $P$ ,  $k_{i\perp}$  — поперечный импульс  $i$ -й частицы.

$$\sum_{\text{inc}} p_i = P; \quad \sum_{\text{inc}} x_i = 1; \quad \sum_{\text{inc}} k_{i\perp} = 0.$$

Такие же соотношения верны и для сумм по промежуточным состояниям из закона сохранения трехимпульса в вершинах, т.е.

$$\sum_{\text{int}} x_i = 1; \quad \sum_{\text{int}} k_{i\perp} = 0.$$

Энергию  $i$ -й частицы при  $P \rightarrow \infty$  можно представить в виде:

$$E_i = (p_i^2 + m^2)^{1/2} \cong |x_i| P + \frac{m_{i\perp}^2}{2x_i P}.$$

Используя эти соотношения, легко получить:

$$E_{\text{inc}} = \sum_{\text{inc}} E_i \cong P + \sum_{\text{inc}} \frac{m_{i\perp}^2}{2x_i P} = P + \sum \frac{s_i}{2P},$$

$$E_{\text{int}} = \sum_{\text{int}} E_i \cong P + \sum_{\text{int}} \frac{m_{i\perp}^2}{2x_i P} = P + \sum \frac{s_i}{2P},$$

$$s_i = m_{i\perp}^2 / x_i.$$

Отсюда для функции Грина  $G$  имеем

$$G = \frac{1}{E_{\text{inc}} - E_{\text{int}} + ie} = \frac{2}{\sum_{\text{inc}} s_i / P - \sum_{\text{int}} s_i / P + ie}$$

для промежуточных состояний с  $x_i > 0$ , и

$$G = \frac{1}{E_{\text{inc}} - E_{\text{int}} + ie} = \frac{1}{2 \sum_{x_i < 0} x_i P + ie}$$

для промежуточных состояний с  $x_i < 0$ .

Заметим, что для всех внешних частиц (см., например, рис.3)  $x_i > 0$  и функций Грина  $G$  в СТВ будет  $n - 1$ , т.к. имеется  $n - 1$  промежуточных

состояний. Законы сохранения трехимпульсов в вершинах теперь запишутся следующим образом:

$$\delta^{(3)} \left( \sum_i p_i \right) = \delta \left( \left( \sum_i x_i \right) P \right) \delta^{(2)} \left( \sum_i k_{i\perp} \right) = \frac{1}{P} \delta \left( \sum_i x_i \right) \delta^{(2)} \left( \sum_i k_{i\perp} \right),$$

а т.к. имеется  $n - 1$   $\delta$ -функций, то мы получим фактор  $P^{-(n-1)}$ . Интегрирование по внутренним импульсам запишется теперь так

$$\frac{d^3 p_i}{(2\pi)^3 2E_i} = \frac{dx_i d^2 k_{i\perp}}{2|x_i| (2\pi)^3}.$$

Из изложенного видно, что для промежуточных состояний с  $x_i > 0$  времениупорядоченные диаграммы дают конечное значение. А при  $x_i < 0$  они убывают как  $1/P^n$ . Таким образом, число времениупорядоченных диаграмм, дающих основной вклад, становится гораздо меньше, чем  $n!$  [27]. Если мы, например, рассмотрим взаимодействие фотона с дейтроном, т.е. в качестве верхней внешней линии на рис.3 рассмотрим  $\gamma$ -квант, а нижних внешних линий — дейtron, то при определенном выборе СБИ, в которой четырехимпульс фотона имеет следующие компоненты:

$$q(M\nu/2P, q_\perp, 0)$$

( $\nu$  — энергия фотона,  $q_\perp$  — его поперечный импульс,  $M$  — масса дейтрана), вместо шести времениупорядоченных диаграмм конечной остается только одна, соответствующая рис.3,а.

Теперь кратко сформулируем правила диаграммной техники Вайнберга, вытекающие из изложенного выше [27,28].

1'. Вместо фейнмановского графика порядка  $n$  изображаются все времениупорядоченные графики, в которых каждая вершина имеет по крайней мере одну линию, выходящую из прошлого, и одну линию, уходящую в будущее.

2'. Каждая линия ассоциируется с  $x$  и  $k_\perp$ .

3'. Каждой вершине, исключая последнюю, ставится в соответствие фактор

$$(2\pi)^3 g \delta \left( \sum_i x_i \right) \delta^{(2)} \left( \sum_i k_{i\perp} \right),$$

а последней вершине —  $g$ .

4'. Для каждого промежуточного состояния записывается функция Грина:

$$G = \frac{2}{\sum_{\text{inc}} s_i - \sum_{\text{int}} s_i + i\epsilon}.$$

5'. По внутренним линиям проводится интегрирование по

$$\frac{dx_i d^2 k_{i\perp} \theta(x_i)}{(2\pi)^3 2x_i}.$$

6'. Все времениупорядоченные графики суммируются.

Заметим, что все изложенное относится к взаимодействию бесспиновых частиц. В случае частиц со спином все несколько усложняется, т.е. некоторые вершины в диаграммах типа рис.3 могут вести себя как  $\sim P$ , т.е. расти с увеличением  $P$  при  $x_i < 0$  [27]. Но в целом такая времениупорядоченная диаграмма может убывать не как  $1/P^n$ , а как  $1/P^{n-1}$  [27]. Вообще говоря, при наличии спина у частиц необходимо соблюдать осторожность и тщательно проверять, какие диаграммы дают конечный вклад.

Перейдем теперь к использованию подхода Вайнберга к анализу  $dN$ -взаимодействий при высоких энергиях.

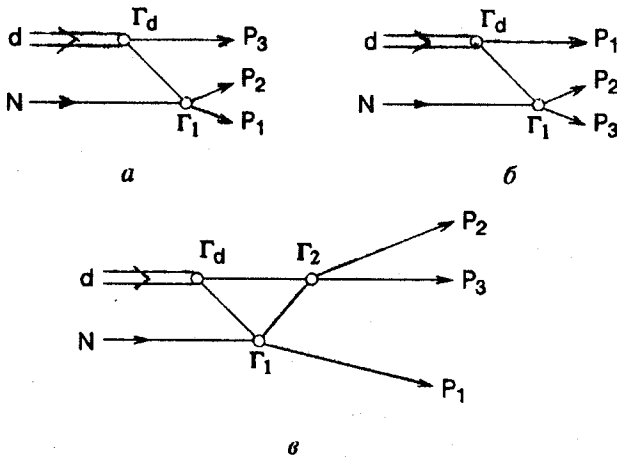
*dN*-взаимодействия в рамках формализма Вайнберга. Рассмотрим для простоты процесс разрыва дейтрана при высоких энергиях  $dp \rightarrow ppn$ . Пусть суммарный импульс начальных частиц  $P$ , а  $x_N, x_d$  — доли продольных импульсов начальных нуклона и дейтрана соответственно;  $x_1, x_2, x_3$  — доли продольных импульсов протона, нейтрона и регистрируемого протона

$$s_d = \frac{M^2}{x_d}; \quad s_N = \frac{m^2}{x_N}; \quad s_1 = \frac{m^2 + p_{1\perp}^2}{x_1}; \quad s_2 = \frac{m^2 + p_{2\perp}^2}{x_2}; \quad s_3 = \frac{m^2 + p_{3\perp}^2}{x_3},$$

здесь  $p_{1\perp}, p_{3\perp}, p_{2\perp}$  — поперечные импульсы вылетающих протонов и нейтрона,  $m, M$  — массы нуклона и дейтрана соответственно. Рассмотрим диаграммы этого процесса вплоть до второго порядка  $hN$ -взаимодействия (см. рис.4) в рамках формализма Вайнберга [26] в СБИ. При этом фиксируется определенное направление СБИ, например,  $\vec{n} \uparrow \downarrow - P$ , тогда ВФД будет зависеть только от  $k^2$  или от  $x$  и  $k_\perp$  [15,22].

Амплитуда, соответствующая полюсному графику (рис.4,*a*), согласно вышеописанным правилам, может быть записана следующим образом:

$$F^{(1)} = \int (2\pi)^3 \Gamma_d \delta(x_d - x^3 - x_3) \times$$

Рис.4. Некоторые диаграммы процесса  $dp \rightarrow ppn$ 

$$\begin{aligned} & \times \delta^{(2)}(k'_{\perp} + k_{3\perp}) \frac{2\Gamma_1}{s_d - s' - s_3 + i\epsilon} \frac{dx' \theta(x') d^2 k_{\perp}}{(2\pi)^3 2x' 2x_3} = \\ & = \frac{\Gamma_d}{s_d - s' - s_3 + i\epsilon} \frac{\Gamma_1}{2x_3(1-x_3)} = f_{1,NN} \frac{\Psi(x_3, P_{3\perp})}{\sqrt{2x_3(1-x_3)}}. \end{aligned} \quad (5)$$

При этом в (5) перешли от  $\Gamma_1$  к амплитуде  $NN$ -рассеяния  $f_{1,NN}$ , а от  $\Gamma_d$  — к ВФД  $\Psi(x_3, P_{3\perp})$ :

$$\Psi(x_3, P_{3\perp}) = \frac{\Gamma_d}{(s_d - s' - s_3 + i\epsilon) \sqrt{2x_3(1-x_3)}},$$

которая нормирована условием (3). Амплитуда, соответствующая второму полюсному графику (рис.4,б) имеет аналогичный вид:

$$F^{(2)} = f_{2,NN} \frac{\Psi(x_1, P_{1\perp})}{\sqrt{2x_1(1-x_1)}}. \quad (6)$$

Рассмотрим теперь диаграммы следующего, т.е. второго порядка  $hN$ -взаимодействия в этом формализме (рис.4,с). Согласно вышеописанным правилам, имеем для амплитуды  $F^{(3)}$ , соответствующей графику рис.4,с:

$$F^{(3)} = \int (2\pi)^3 \Gamma_d \delta(x_d - x' - x'_3) \delta^{(2)}(k_{1\perp} + k_{3\perp}) \frac{2}{s_d - s'_1 - s'_3 + i\epsilon} \times$$

$$\times (2\pi)^3 \Gamma_1 \delta(x_N + x'_1 - x_1 - x'_2) \delta^{(2)}(k_{1\perp} - k_{2\perp} - p_{1\perp}) \times \\ \times \frac{2}{s'_1 + s_N - s_1 - s'_2 + i\epsilon} \Gamma_2 \frac{dx'_1 \theta(x'_1) d^2 k_{1\perp} dx'_2 \theta(x'_2) d^2 k_{2\perp} dx_3 d^2 k_{3\perp}}{(2\pi)^3 2x'_1 (2\pi)^3 2x'_2 (2\pi)^3 2x'_3}. \quad (7)$$

Переходя теперь в (7) от вершин  $\Gamma_d$ ,  $\Gamma_1$ ,  $\Gamma_2$  к ВФД и к амплитудам  $hN$ -взаимодействия, имеем для  $F^{(3)}$ :

$$F^{(3)} = \frac{1}{(2\pi)^3} \int \Psi(x'_1, k_{1\perp}) f_{1,NN} f_{2,NN} \frac{\tilde{G}(x'_1, k_{1\perp})}{4\sqrt{x'_1(1-x'_1)x'_2}} dx'_1 d^2 k_{1\perp}; \\ \tilde{G} = \frac{1}{P} G; \quad G = \frac{2P}{s'_1 + s_N - s_1 - s_2 + i\epsilon} \equiv \frac{1}{E(k_1) + E(p_N) - E(p_1) - E(q) + i\epsilon}; \\ x'_2 = x'_1 + x_N - x_1. \quad (8)$$

Амплитуду  $F^{(3)}$  можно переписать в эквивалентном виде [17,35]:

$$F^{(3)} = \frac{P}{(2\pi)^3} \int \frac{f_{1,NN} f_{2,RN} dx'_1 d^2 k_{1\perp}}{4\sqrt{E(k_1)E(k_2)E(q)}} \Psi(x'_1, k_{1\perp}) G(x'_1, k_{1\perp}). \quad (9)$$

Заметим, что в качестве промежуточной частицы  $R$  с импульсом  $q$  на графике рис.4,в может быть не только нуклон, а, например, барионный резонанс [17,35]. Поэтому амплитуду, соответствующую взаимодействию этой частицы с нуклоном, мы обозначили как  $f_{2,RN}$ . Из (6), (8) видно, что амплитуды рассмотренных диаграмм не зависят явным образом от начального импульса  $P$ , а зависят только от релятивистски-инвариантных переменных  $x, k_{\perp}$ .

Теперь посмотрим, как запишется дифференциальное сечение рассматриваемого процесса в таких переменных:

$$d\sigma = \frac{(2\pi)^4 \delta(E_{in} - E_p) \delta^{(3)}(p_{in} - p_f)}{2\lambda^{1/2}(s_{pd}, m^2, M^2)} |F|^2 \frac{d^3 p_1}{(2\pi)^3 2E_1} \frac{d^3 p_2}{(2\pi)^3 2E_2} \frac{d^3 p_3}{(2\pi)^3 2E_3}, \quad (10)$$

где  $\lambda^{1/2}(x, y, z) = ((x-y-z)^2 - 4yz)^{1/2}$ ,  $F$  — амплитуда рассматриваемой  $dp \rightarrow ppn$  реакции. Учитывая (10), имеем инвариантный спектр протонов с импульсом  $p_3$ :

$$E_3 \frac{d\sigma}{d^3 p_3} = \frac{1}{16\lambda^{1/2}(s_{pd}, m^2, M^2)} \frac{1}{(2\pi)^5} \times$$

$$\begin{aligned}
 & \times \delta(E_{\text{in}} - E_f) \delta^{(3)}(p_{\text{in}} - p_f) |F|^2 \frac{d^3 p_1 d^3 p_2}{E_1 E_2} = \\
 & = \frac{1}{16\lambda^{1/2}(s_{pd}, m^2, M^2)} \frac{1}{(2\pi)^5} \int \delta(x_N + x_d - x_1 - x_2 - x_3) \times \\
 & \quad \times \delta(s_d + s_N - s_1 - s_2 - s_3) |F|^2 \frac{dx_1 dx_2 d^2 p_\perp}{x_1 x_2}. \quad (11)
 \end{aligned}$$

Если для простоты вычислений предположить азимутальную симметрию реакции, то вместо (11) получим

$$\begin{aligned}
 E_3 \frac{d\sigma}{d^3 p_3} &= \frac{1}{16\lambda^{1/2}(s_{pd}, m^2, M^2)} \frac{1}{(2\pi)^4} \times \\
 & \times \int |F|^2 \frac{dx_1}{1-x_3} \delta(s_d + s_N - s_1 - s_2 - s_3) p_{1\perp} dp_{1\perp}. \quad (12)
 \end{aligned}$$

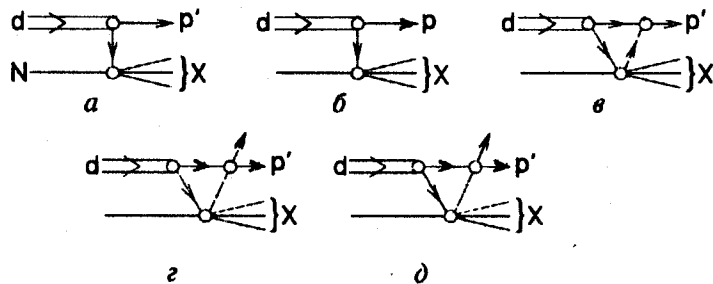
Довольно просто проводится интегрирование в (12) по  $dp_{1\perp}$  в случае, когда один из конечных нуклонов, например, протон с импульсом  $p_3$ , имеет нулевой поперечный импульс, т.е.  $p_{3\perp} = 0$ , тогда  $s_3 = m^2/x_3$ ;  $p_{1\perp}^2 = p_{2\perp}^2 = p_\perp^2$ , после чего получаем вместо (12) следующее выражение:

$$E_3 \frac{d\sigma}{d^3 p_3} = \frac{1}{16\lambda^{1/2}(s_{pd}, m^2, M^2)} \frac{1}{(2\pi)^4} \int \frac{|F|^2 dx_1}{1-x_3}. \quad (13)$$

Теперь мы рассмотрим конкретные процессы  $dN$ -взаимодействия в рамках изложенного подхода Вайнберга.

### 3. $dN$ -ВЗАИМОДЕЙСТВИЕ

Фрагментация дейтрана  $dN \rightarrow pX$ . Рассмотрим процесс стриппинга дейтрана на нуклоне  $dN \rightarrow pX$ , когда протон вылетает вперед или под углом, близким к  $0^\circ$ , в системе движущегося дейтрана, или назад,  $\theta_p \approx 180^\circ$  в системе покоя дейтрана. Ограничимся анализом такого класса диаграмм вплоть до второго порядка  $hN$ -взаимодействия, который может дать заметный вклад, как показано в ряде работ [17, 21, 48, 49], в наблюдаемые величины данной реакции. Эти диаграммы СТВ, упорядоченные по времени, приведены на рис.5. Остальные графики в случае простого разрыва дейтрана  $dN \rightarrow NNN$  будут давать убывающий с  $P$  вклад,  $\sim 1/P$ , даже если учесть спиновую структуру в вершинах [28]. В случае же инклузивной реакции  $dN \rightarrow pX$  такое утверждение сделать трудно, т.к.

Рис.5. Диаграммы процесса  $dp \rightarrow pX$ 

вершины  $\Gamma_1, \Gamma_2$  (см. рис.5) будут соответствовать амплитудам неупругого  $NN$ -взаимодействия, спиновая структура которых в общем случае неизвестна. Однако, как будет показано ниже, в определенных случаях анализ инклюзивной  $dp$ -реакции можно заменить на эквивалентное рассмотрение процессов  $dp \rightarrow NNN$ ,  $dp \rightarrow NNN\pi$ . Спиновая структура последних двух реакций известна, и это утверждение доказывается аналогично случаю процесса раз渲а дейtron'a.

Общее выражение для амплитуды рассматриваемого процесса может быть записано в следующем виде [17,35,36]:

$$\mathcal{F}_d = C \sum_{l=1}^5 \mathcal{F}^{(l)}, \quad (14)$$

где  $C = (2(2\pi)^3)^{1/2}$  — нормировочный множитель [17,35,36],  $\mathcal{F}^{(l)}$  соответствуют диаграммам рис.5.

Выражения для  $\mathcal{F}^{(1)}, \mathcal{F}^{(2)}$  приведены в предыдущем разделе (см. (5) и (6)). А выражения для  $\mathcal{F}^{(3)}, \mathcal{F}^{(4)}, \mathcal{F}^{(5)}$ , соответствующие рис.5, в—д, будут иметь вид, аналогичный (7)+(9). Для диаграммы рис.5, в вершина поглощения промежуточного виртуального мезона нуклоном имеет вид [35,36]  $\Gamma_N^{(2)} = ag\bar{u}(p')\gamma_5 u(k_1)$ , где  $a = \sqrt{2}$ ,  $g^2/4\pi = 14,7$  для  $\pi^+$ -мезона и  $a = 1$  для других  $\pi$ -мезонов. Если внутридейtronные нуклоны находятся вблизи массовой поверхности, то:

$$\bar{u}(p')\gamma_5 u(k_1) = b \zeta^+ \left\{ \frac{\sigma_N p'}{E' + m} - \frac{\sigma_N k_1}{E(k_1) + m} \right\} \zeta, \quad (15)$$

где

$$b = \left\{ \frac{(E(k_1) + m)(E(p') + m)}{4m^2} \right\}^{1/2},$$

$\zeta$  — нуклонный двухкомпонентный спинор.

Если энергия падающего дейтрана не очень большая, например,  $E_d \approx 10+20$  ГэВ, то, как показывают экспериментальные данные [37,38], рождение векторных мезонов в нижней вершине диаграммы рис.5, $\vartheta$  очень мало по сравнению с рождением псевдоскалярных мезонов. Поэтому диаграммой рис.5, $\vartheta$  с поглощением виртуального векторного мезона мы пренебрегаем и оставляем только диаграммы рис.5, $\vartheta$  с поглощением псевдоскалярного мезона нуклоном. Заметим, что такие диаграммы, как показано в [39], дают значительный вклад в спектры протонов, испущенные вперед в  $dp \rightarrow ppp$  реакции при начальном импульсе дейтрана  $p_d \approx 3,3+4$  ГэВ/с, при котором реакция  $pN \rightarrow \pi NN$  (см. нижнюю вершину рис.5, $\vartheta$ ), в основном, идет через образование  $\Delta$ -изобары в промежуточном состоянии. При больших начальных импульсах  $p_d$  вклад  $\Delta$ -изобарного механизма в процессе  $pN \rightarrow \pi NN$  постепенно уменьшается с ростом  $p_d$ , однако при  $p_d \approx 10$  ГэВ/с он остается еще заметным. Поэтому, как показано в [17,35,36], диаграммами типа рис.5, $\vartheta$  пренебрегать нельзя при анализе реакций  $dN$ -стриппинга при указанных начальных импульсах. В инклюзивных реакциях типа стриппинга  $dp \rightarrow pX$  вклад диаграммы рис.5, $\vartheta$  в определенной кинематической области  $0,5 < x < 0,8$  остается заметным и при больших начальных энергиях  $E_d$ , так как он определяется инклюзивным спектром процесса  $pN \rightarrow \pi X$ , который слабо зависит от начальной энергии.

Далее, если мы будем анализировать обсуждаемую  $dN$ -реакцию при не очень больших энергиях, например, при  $E_d \approx 9$  ГэВ, при которых имеются экспериментальные данные [3,41], то средняя множественность рожденных мезонов, в основном  $\pi$ , небольшая ( $\langle n_\pi \rangle \cong 1,0+1,5$  [42]). Это означает, что в этом процессе рождается в среднем не более одного  $\pi$ -мезона при указанной начальной энергии. Согласно [20] в  $dP$ -стриппинге при таких энергиях конечный  $\pi$ -мезон с наибольшей вероятностью образуется в первом столкновении нуклона дейтрана с нуклоном мишени (см. верхнюю вершину рис.5, $\vartheta$ ). Поэтому в качестве амплитуд  $NN \rightarrow \pi X_1$ ;  $NN \rightarrow NX_1$ , на рис.5, $\vartheta-\delta$  мы можем рассмотреть амплитуды процессов:  $NN \rightarrow \pi NN$  для диаграмм рис.5, $\vartheta,\delta$  и  $NN \rightarrow NN$  для графика рис.5, $\delta$ . Заметим, что каждый график рис.5, $\vartheta-\delta$  соответствует когерентной сумме диаграмм, учитывающих все возможные изотопические состояния промежуточных и конечных частиц.

Теперь легко вычислить инклюзивный спектр протонов, образующихся от фрагментации дейтранов. В нашем случае поперечный импульс протонов  $p_\perp = 0$ , поэтому можно использовать выражение (13)

для спектра и подставить в него амплитуду (14). Подробные выражения и вычисления отдельных вкладов диаграмм рис.5,*a*—*d* и их интерференций в инклюзивный спектр протонов приведены в [36,37], поэтому мы не будем здесь их выписывать. Амплитуды процессов  $NN \rightarrow \pi NN$ , соответствующих нижним вершинам рис.5,*e*—*d*, вычислялись в рамках реджизованного однобозонного обмена [43], а амплитуды  $\pi N \rightarrow \pi N$  рассеяния (см. верхнюю вершину рис.5,*d*) рассчитывались исходя из фазового анализа (см. ссылки в [43]) при характерных энергиях  $\pi$ -мезонов  $E_x \approx 0,15+0,7$  ГэВ. Для амплитуд упругого  $NN$ -рассеяния использовался парциально-волновой анализ [44].

В рамках обсуждаемой диаграммной техники Вайнберга можно вычислить и другие наблюдаемые величины исследуемой реакции фрагментации, например, тензорной анализирующей способности  $A = \sqrt{2} T_{20}$  и передачи поляризации  $\kappa$ , что представляет несомненный интерес при изучении малонуклонных корреляций или ненуклонных степеней свободы в дейтроне.

Рассмотрим сначала первую поляризационную характеристику  $T_{20}$ . Как уже указывалось в разд.1, в случае  $dp$ -стриппинга спиновую структуру релятивистской ВФД можно представить в таком же виде, как и для нерелятивистской ВФД. Для удобства рассмотрим данные процессы в системе покоя дейтрана. Заметим, что вышеизложенный подход справедлив и в этой системе, лишь бы суммарный начальный импульс был достаточно большим. Общее выражение матрицы плотности дейтрана можно записать в следующем виде [45—47]:

$$\rho_d = \frac{1}{3} P_T \left\{ 1 + \frac{3}{2} \vec{\mathcal{P}} \cdot \vec{S} - \frac{1}{2} \rho_{20} (3S_z^2 - 2) \right\}, \quad (16)$$

где  $P_T = (3 + \sigma_p \sigma_n)/4$  — проекционный оператор триплетного состояния дейтрана;  $\vec{\mathcal{P}}$  — вектор поляризации дейтрана;  $\rho_{20}$  — его тензорная поляризация;  $\vec{S}$  — оператор спина дейтрана;  $S_z$  — его проекция на ось квантования  $z$ , которая в данном случае совпадает с направлением движения начальных частиц. Тензорная анализирующая способность дейтрана  $A$  определяется следующим образом [45]:

$$A = \frac{\sigma(m = +1) + \sigma(m = -1) - 2\sigma(m = 0)}{\sigma(m = +1) + \sigma(m = -1) + \sigma(m = 0)}, \quad (17)$$

где  $\sigma(m = \pm 1, 0)$  — дифференциальное сечение обсуждаемой реакции для чистых спиновых состояний дейтрана. Она также есть среднее значение спин-тензорного оператора [45,46]  $\Omega_{20} = 3S_z^2 - 2$ , т.е.

$A = \langle \Omega_{20} \rangle = \sqrt{2} T_{20}$ . Выражение для  $T_{20}$ , согласно определению среднего значения оператора, в частности  $\Omega_{20}$ , можно представить в виде [46,47]:

$$T_{20} = \frac{1}{\sqrt{2}} \frac{\int \text{Sp} (\rho_d \mathcal{F}_d^+ \Omega_{20} \mathcal{F}_d) d^{(4)}(p_{in} - p_f) \Gamma}{\int \text{Sp} (\rho_d \mathcal{F}_d^+ \mathcal{F}_d) d^{(4)}(p_{in} - p_f) \Gamma}, \quad (18)$$

где  $\Gamma = d^3 p_1 d^3 p_2 d^3 p_4 \dots d^3 p_n / (E_1 E_2 E_4 \dots E_n)$ .

В (18) проводится интегрирование по всем импульсам конечных частиц, кроме одного  $p_3$ , который соответствует регистрируемому протону. Зная число частиц  $n$  в конечном состоянии, выражение (18) можно представить в виде, аналогичном (12), (13). Такие выражения приведены в [35] для нашего конкретного случая  $dp$ -стриппинга при не очень больших начальных энергиях. Согласно [35,36], если дейtron только тензорно-поляризован, т.е.  $\vec{\beta} = 0$ , то

$$T_{20} = \frac{2\sqrt{2}\Psi_0(x)\Psi_2(x) - |\Psi_2(x)|^2 + \tilde{R}_1(x) + \tilde{R}_2(x)}{\sqrt{2}\{|\Psi_0(x)|^2 + |\Psi_2(x)|^2 + R_1(x) + R_2(x)\}}. \quad (19)$$

Выражения для  $\tilde{R}_1$ ,  $\tilde{R}_2$ ,  $R_1$ ,  $R_2$  приведены в работе [36], они соответствуют учету всех неспектаторных графиков рис.5, $\sigma$ — $\delta$ . В приближении спектаторного механизма, т.е. с учетом только диаграммы рис.5, $a$ ,  $\tilde{R}_1 = \tilde{R}_2 = R_1 = R_2 = 0$  и формула (19) приобретает вид, полученный для стриппинга  $dN \rightarrow pX$  Е.А.Строковским [3,41].

Рассмотрим теперь другую поляризационную характеристику — поляризацию  $\vec{\beta}'$  конечного протона в реакции  $dN \rightarrow pX$ . Общее выражение для  $\vec{\beta}' \cdot \vec{n}$ , где  $\vec{n}$  — единичный вектор, перпендикулярный плоскости реакции, имеет вид [46,47]:

$$\vec{\beta}' \cdot \vec{n} = \frac{\int \text{Sp} (\rho_d \mathcal{F}_d^+ \vec{\sigma} \vec{n} \mathcal{F}_d) \Gamma}{\int \text{Sp} (\rho_d \mathcal{F}_d^+ \mathcal{F}_d) \Gamma}, \quad (20)$$

где  $\vec{\sigma}$  — матрицы Паули, соответствующие конечному протону в искомой реакции. На опыте обычно измеряют так называемую передачу поляризации  $\kappa = (\vec{\beta}' \cdot \vec{n}) / (\vec{\beta} \cdot \vec{n})$  [41]. Выражение (20) тоже можно представить в виде, аналогичном (12),(13).

В простейшем случае спектаторного механизма выражение для  $\kappa$  имеет вид, который тоже был получен Е.А.Строковским [41]:

$$\kappa^{sp} = \frac{\Psi_0^2(x) - \frac{1}{\sqrt{2}} \Psi_0(x)\Psi_2(x) - \Psi_2^2(x)}{\{\Psi_0^2(x) + \Psi_2^2(x)\} \{1 - \rho_{20} T_{20}^{sp}\}}. \quad (21)$$

В случае, когда дейtron только векторно-поляризован, т.е.  $\rho_{20} = 0$ , то

$$\kappa^{sp} = 1 - \frac{1}{2\sqrt{2}} T_{20}^{sp} - \frac{9}{4(1 + (\Psi_0/\Psi_2)^2)}. \quad (22)$$

Здесь и в (21) индекс  $sp$  означает, что эти величины вычисляются в рамках спектаторного механизма. Причем  $T_{20}^{sp}$  можно вычислить по (19), полагая  $\tilde{R}_1 = \tilde{R}_2 = R_1 = R_2 = 0$ . Из (19) видно, что если бы можно было ограничиться только одним спектаторным механизмом, изображенным на рис.5,а, то можно извлечь непосредственную информацию о  $S$ -,  $D$ -волнах в отдельности из экспериментальных данных о  $\kappa$  и  $T_{20}$ . Такое предположение было сделано в [41]. Однако, как показано в [17,35,36], вкладом других, неспектаторных графиков ограничиваться нельзя, особенно при исследовании поляризационных характеристик.

С учетом всех графиков рис.5 выражение для  $\kappa$  имеет вид

$$\kappa = \frac{\Psi_0^2(x) - \frac{1}{\sqrt{2}} \Psi_0(x)\Psi_2(x) - \Psi_2^2(x) + \tilde{R}_N + \tilde{R}_{abs} + \tilde{R}_{\pi,rs}}{\Psi_0^2(x) + \Psi_2^2(x) + R_N + R_{abs} + R_{\pi,rs}}. \quad (23)$$

Подробные выражения для  $\tilde{R}_N$ ,  $\tilde{R}_{abs}$ ,  $\tilde{R}_{\pi,rs}$ ,  $R_N$ ,  $R_{abs}$ ,  $R_{\pi,rs}$ , которые соответствуют графикам рис.5,б,д,в,г, приведены в [36].

Теперь обсудим результаты расчета приведенных наблюдаемых величин  $E d\sigma/d^3p$ ,  $T_{20}$ ,  $\kappa$  во фрагментации [17,35,36]  $dp \rightarrow pX$ .

Инклузивный спектр протонов в  $dp \rightarrow pX$  при  $p_d \approx 9$  ГэВ/с представлен на рис.6. Относительные вклады диаграмм рис.5 приведены на рис.7. Из этих рисунков видно (особенно — из рис.7), что суммарный вклад диаграмм, учитывающих вторичные взаимодействия, т.е. диаграммы рис.5,в—д, довольно значителен при импульсе испущенных назад протонов  $0,2 \leq q \leq 0,45$  ГэВ/с в системе покоя дейтрана, а при  $q > 0,45$  ГэВ/с он постепенно вымирает и им можно пренебречь. Из рис.7 видно, что вклад перерассеяния нуклонов (рис.5,д) может быть деструктивным из-за интерференции его с другими диаграммами при небольших  $q$ ,  $q \leq 0,2$  ГэВ/с, т.е. он уменьшает дифференциальное сечение, рассчитанное в импульсном приближении. Это происходит за счет так называемого взаимодействия в конечном состоянии (ВКС) двух нуклонов, которое в нашем подходе учитывается диаграммой рис.5,д, подробно об этом см. в [36]. Это же отмечалось и в [49], где не учитывались релятивистские эффекты в дейтране. При больших  $q$  вклад  $NN$ -перерассеяния увеличивает значения спектра, вычисленные в импульсном приближении. Вклад

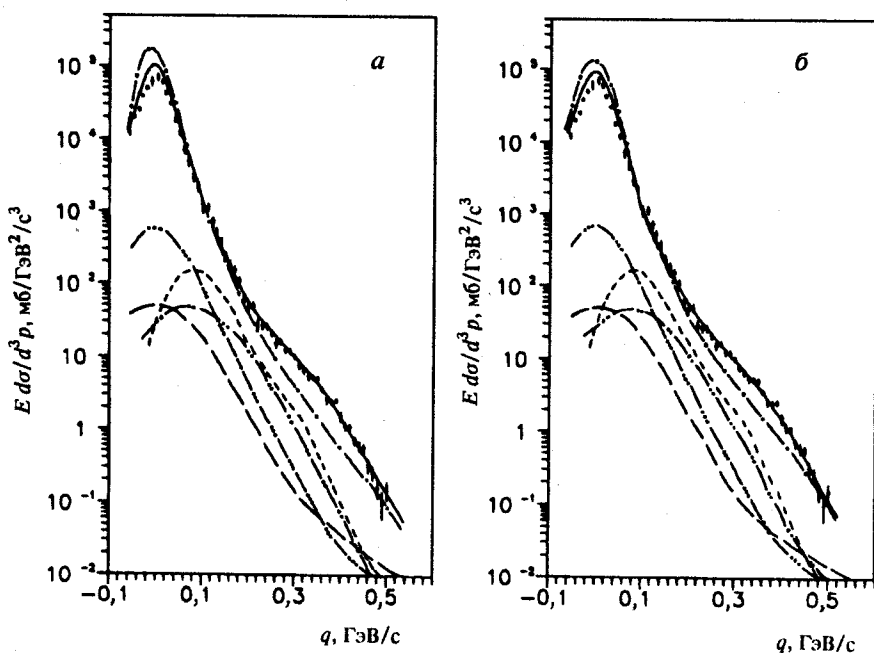
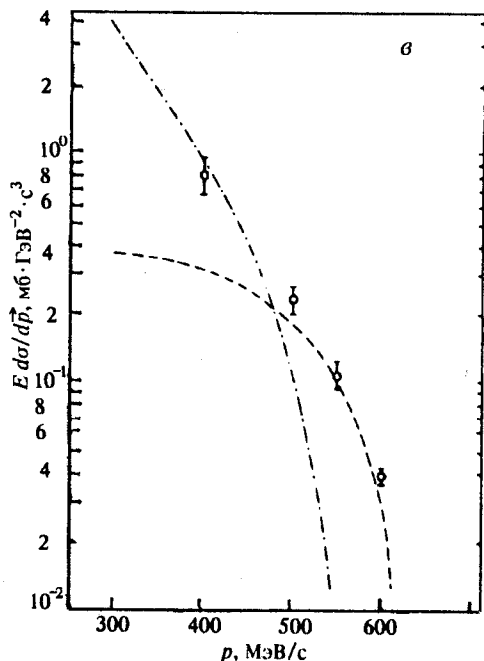


Рис.6. Вклады различных механизмов в инклюзивный спектр протонов реакции  $d p \rightarrow p X$  при  $p_d \approx 9 \text{ ГэВ/с}$  и угле вылета протонов  $\theta_p \approx 0^\circ$ , вычисленные для ВФД типа [67] (a). Кривые соответствуют следующим диаграммам: штрихпунктирная — рис.5,*a*; штриховая с тремя точками — рис.5,*b*; штриховая — диаграммам рис.5,*в*; штриховая с двумя точками — рис.5,*г*; штриховая (длинные штрихи) — диаграммам рис.5,*д*; сплошная — сумма всех диаграмм рис.5 с учетом их интерференции. б) То же, что на рис.6,*а*, но для парижской ВФД [68]. в) Инклюзивный спектр протонов, образованных в реакции  $p d \rightarrow p X$  под углом  $\theta_p = 180^\circ$  при начальном импульсе  $p_0 \approx 9 \text{ ГэВ/с}$ . Штрихпунктирная линия — расчет в импульсном приближении (рис.5*а,б*). Штриховая кривая — вклад ненуклонных степеней свободы [60]. Экспериментальные данные взяты из [75]



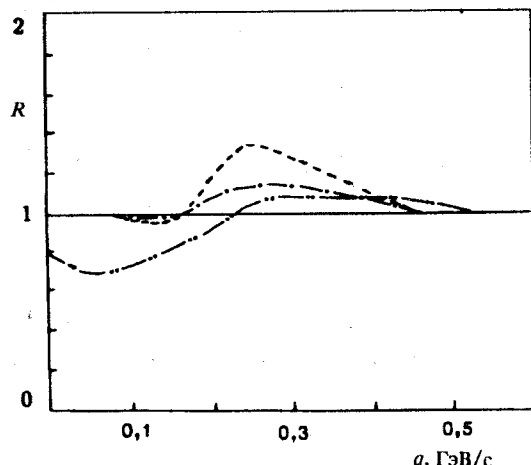


Рис.7. Относительные вклады двухступенчатого «механизма» (рис.5,*в—д*) по отношению к одноступенчатому (рис.5,*а,б*) и их интерференция в инклюзивный спектр протонов в реакции фрагментации дейтрана  $dp \rightarrow pX$ . Штриховая кривая соответствует диаграмме рис.5,*в*, штрихпунктирная — рис.5,*г*, штриховая с двумя точками — рис.5,*д*

чувствителен к выбору вида ВФД, такой же вывод получен и в нашем подходе [17,35,36], где учитывались релятивистские эффекты в дейтроне вышеописанным способом. Как видно из рис.7, все же наибольший вклад в спектр протонов, помимо импульсного приближения, дают диаграммы с поглощением виртуального мезона нуклоном (рис.5,*в*) и с  $\pi N$ -перерассеянием (рис.5,*г*), примерно до 60% при  $0,2 < q < 0,4$  ГэВ/с.

Поляризационные характеристики  $T_{20}$  и  $\kappa$ , как показали расчеты [17,35,36], более чувствительны к учету графиков неспектаторного типа. Результаты расчета [35,36]  $T_{20}$  и экспериментальные данные [41,50] приведены на рис.8. Из него видно, что учет всех графиков рис.5 дает результат, существенно отличающийся от расчета в рамках спектаторного механизма как в области минимума  $T_{20}$ , т.е.  $0,2 < q < 0,4$  ГэВ/с, так и при больших  $q$ . Конечно, из-за больших ошибок в имеющихся экспериментальных данных при  $q > 0,45$  ГэВ/с нельзя сказать, какой знак имеет  $T_{20}$  в этой области. Наш расчет указывает на изменение знака  $T_{20}$  при  $q \approx 0,5$  ГэВ/с или  $q \approx 0,54$  ГэВ/с в зависимости от вида ВФД. Поэтому чрезвычайно интересно иметь более точную экспериментальную информацию о  $T_{20}$  при  $q > 0,45$  ГэВ/с или  $k > 0,7$  ГэВ/с,  $x > 0,8$ . Это особенно важно для извлечения новой информации о релятивистской структуре дейтрана и ненуклонных степенях свободы, что будет подробно обсуждаться ниже.

Обратимся теперь к обсуждению результатов расчета передачи поляризации  $\kappa$  в  $dp \rightarrow pX$  фрагментации, представленных на рис.9 вместе с имеющимися экспериментальными данными [41,51,52]. Из него видно,

таких графиков типа рис.5,*д* анализировался в [23,48,49], правда, с нерелятивистскими ВФД. Было показано, что он очень

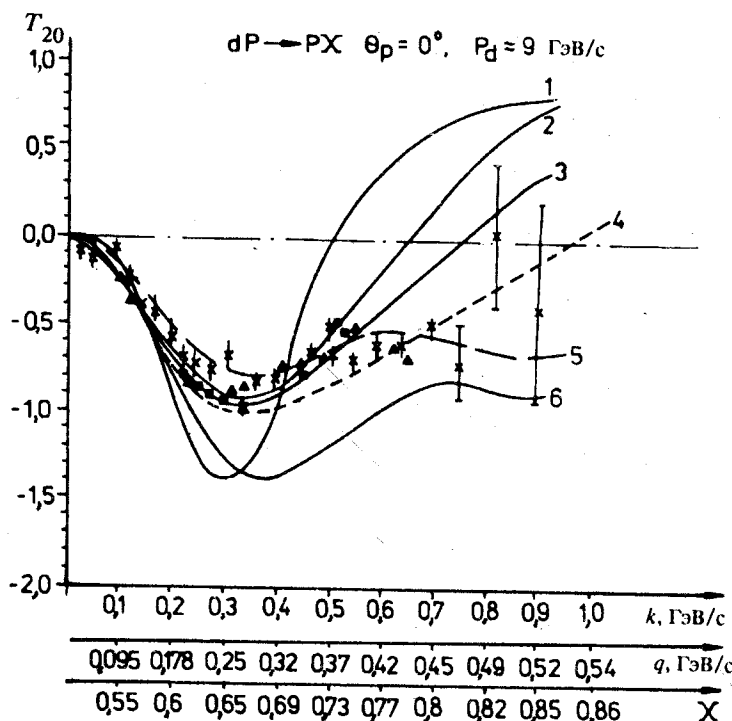
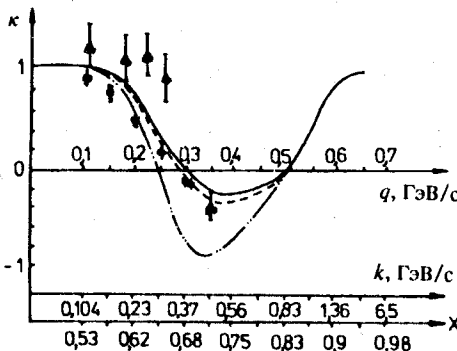


Рис.8. Зависимость  $T_{20}$  от импульсов  $q, k$  и от переменной светового фронта  $x$  протона. Кривые 1 — вклад спектаторного механизма (рис.5,*a*); 2 — вклад диаграмм рис.5,*a,b*; 3 — вклад всех диаграмм рис.5. Кривые 1, 2 и 3 соответствуют расчетам с ВФД типа [67]. Кривая 4 представляет вклад всех диаграмм рис.5, но для парижской ВФД [68]. Кривые: 5 —  $T_{20}$  с учетом комплексной  $bq$ -компоненты, вычисленной в [53], 6 — результат расчета [16];  $\blacktriangle, \blacksquare$  — экспериментальные данные [50];  $\ast$  — [3,41]

Рис.9. Зависимость передачи поляризации  $\kappa$  от импульса  $q, k, x$ . Штриховая линия с двумя точками — вклад спектаторного механизма (рис.5,*a*); штриховая — вклад диаграмм рис.5,*a,b,c*; сплошная — сумма всех вкладов диаграмм рис.5. Все вычисления выполнены с парижской ВФД. Экспериментальные данные:  $\blacktriangle$  — из [3,41];  $\phi$  — из [52]



что учет двухступенчатого механизма, т.е. диаграмм рис.5,*в*—*д*, меняет значения по сравнению с вкладом простого спектаторного механизма довольно сильно при  $0,25 < q < 0,45$  ГэВ/с. Наибольший вклад в такое изменение дают диаграммы рис.5,*в* с поглощением виртуального  $\pi$ -мезона нуклоном дейтрона.

Это можно объяснить тем, что такое поглощение описывается  $\pi N$ -взаимодействием с псевдоскалярной связью, т.е.  $\mathcal{L}_{\text{int}} = g(\bar{\Psi}\gamma_5\Psi)(\tau\varphi)$  (здесь  $\tau$  — изотопические матрицы,  $\varphi$  — оператор мезонного поля), что определяет спин-флиповую часть полной амплитуды обсуждаемого процесса. Другими словами, слагаемые, пропорциональные  $\vec{\sigma}p'$  и  $\vec{\sigma}k'_1$ , входящие в выражение для  $\Gamma_N^{(2)}$ , соответствующее верхней вершине диаграммы рис.5,*в* (см. (15)), изменяют начальное направление спина нуклона в дейтроне, что влияет на значение поляризации конечных протонов  $\vec{P}'$  или передачи поляризации  $\kappa$ . Аналогичный эффект появляется и при учете графика рис.5,*г* с перерассеянием  $\pi$ -мезона на нуклоне дейтрона, т.к. амплитуда упругого  $\pi N$ -рассеяния тоже имеет спин-флиповую часть. Нуклонное перерассеяние (см. рис.5,*д*) дает малый вклад в  $\kappa$ . Это объясняется тем, что в нашем подходе спиновая зависимость  $NN$ -амплитуд фактически не учитывается, обоснования такого приближения для исследуемой реакции приведены в [36]. Это связано с тем, что вклад диаграмм типа рис.5,*д* при  $q > 0,2$  ГэВ/с наибольший в случае перерассеяния нуклонов типа глауберовского, т.е. с малыми передачами  $t$  в нижней и верхней вершинах рис.5,*д*, как показали расчеты. Но поскольку поляризационные эффекты в упругом  $NN$ -рассеянии при малых  $t$  малы, то спиновой зависимостью их можно пренебречь.

Рассмотрим теперь эти же наблюдаемые величины  $p_{dN}$ ,  $T_{20}$ , но для эксклюзивной реакции  $pd \rightarrow ppn$ . В Юлихе (Германия) планируется постановка такого эксперимента на протонном пучке с кинетической энергией  $T_0 \leq 2,5$  ГэВ и дейтериевой поляризованной и неполяризованной мишенью [73]. При этом предлагается проводить измерения в следующих кинематических условиях: один протон вылетает вперед, а другой — назад в системе покоя дейтрона или под углом  $\theta_p$ , близким к  $180^\circ$ , импульс, энергия и угол вылета которого полностью определяются из законов сохранения энергии-импульса для всей  $pd \rightarrow ppn$  реакции. Приведем предсказания для указанных выше наблюдаемых величин в эксклюзивной реакции  $pd \rightarrow ppn$  при  $T_0 = 2,5$  ГэВ в зависимости от импульса  $p_2$  протона, вылетающего под углом  $\theta_p = 180^\circ$  в л.с. Они приведены на рис.10. Из рис.10,*а* видно, что вид спектра  $E_2 d\sigma/d^3 p_2$  в эксклюзивной

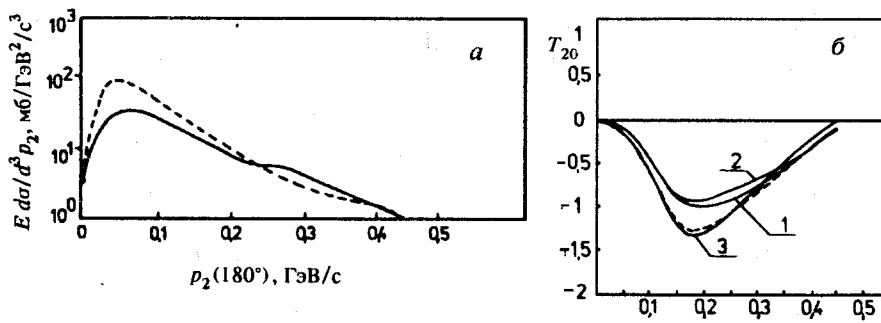


Рис.10. Зависимость эксклюзивного спектра протона, образованного в процессе  $pd \rightarrow ppn$  при  $T_p = 2,5$  ГэВ под углом  $\theta_2 = 180^\circ$ , от его импульса  $p_2$ , угол другого протона  $\theta_1 = 0^\circ$  (а). Штриховая линия — вклад спектраторного графика (рис.4,а); сплошная — сумма всех вкладов диаграммы рис.4. б) Зависимость  $T_{20}$  от  $p_2$  в реакции  $pd \rightarrow ppn$  при тех же кинематических условиях, что и на рис.10,а. Кривые 1, 2 — сумма всех вкладов диаграмм рис.4 с парижской [68] и типа [67] ВФД; 3 — вклад полюсных диаграмм рис.4,а для ВФД типа [67]; штриховая — то же, что кривая 3, но с парижской ВФД [68]

реакции похож на форму инклузивного спектра рис.6. Но при  $T_0 = 2,5$  ГэВ оказываются довольно заметными вклад перерассеяния нуклона (диаграмма рис.5,д), а также ВКС, который уменьшает сечение, вычисленное в импульсном приближении (рис.5,а,б) при  $p_2 < 0,2$  ГэВ/с, и несколько его увеличивает при  $p_2 > 0,2$ . Причем «наплыв» в спектре (см. сплошную кривую при  $p_2 > 0,25$  ГэВ/с) обусловлен в основном, как показали расчеты [36], не перерассеянием нуклона (рис.5,д), а диаграммой рис.5,в с поглощением виртуального мезона нуклоном. Последнее объясняется тем, что рождение  $\pi$ -мезона в реакции  $NN \rightarrow \pi NN$  (см. нижнюю вершину рис.5,в) при указанной начальной энергии  $T_0 = 2,5$  ГэВ может идти и через образование  $\Delta$ -изобары в промежуточном состоянии. С ростом начальной энергии  $T_0$  этот эффект «вымирает» и поэтому в спектре инклузивной реакции  $pd \rightarrow pX$  при  $T_0 \approx 4$  ГэВ такого «наплыва» не возникает, как видно из рис.6.

На рис.10,б приведены результаты расчета  $T_{20}$  для обсуждаемой эксклюзивной реакции  $pd \rightarrow ppn$  при  $T_{20} = 2,5$  ГэВ в зависимости от  $p_2$ . Из рисунка видно, как и в случае инклузивной реакции, что в таком процессе значителен вклад в  $T_{20}$  диаграмм рис.5,в с поглощением вирту-

ального  $\pi$ -мезона при  $0,2 \leq p_2 \leq 0,4$  ГэВ/с. Причем, как видно из сравнения рис.7 и рис.10, б, энергетическая зависимость  $T_{20}$  очень слабая.

Физические следствия из приведенных результатов расчета наблюдаемых величин в инклюзивном и эксклюзивном  $dp$ -процессах будут обсуждаться в разд.5.

Заметим, что расчеты  $\rho_{dN}$ ,  $T_{20}$  для эксклюзивной реакции  $pd \rightarrow pp\pi$  проводились в рамках вышеизложенного подхода, основываясь на диаграммной технике Вайнберга. Использовались формулы типа (11)+(13) и (18), но не проводилось интегрирование в (11) и по фазовому объему в (18), поскольку все импульсы и углы конечных частиц в данном случае определены.

Перейдем теперь к анализу «жесткого»  $dN$ -взаимодействия (под этим термином мы будем понимать процесс  $dN \rightarrow pX$ , когда протон вылетает под большим углом  $\theta_p \approx \pi/2$  в системе покоя дейтрона) в рамках обсуждаемого подхода.

**Жесткое  $dN$ -рассеяние.** Мы рассмотрели случай фрагментации  $dN \rightarrow pX$ , где главный вклад в сечение этого процесса дает спектаторная диаграмма рис.5, а. Теперь проанализируем случай, когда основной вклад в это сечение будет давать также полюсная диаграмма, но неспектаторная, т.е. график рис.5, б. К  $dN$ -процессам такого типа могут относиться реакции, когда один из нуклонов вылетает под большим углом, близким к  $\theta_p \approx 90^\circ$ , в системе покоя дейтрона. Инклюзивный спектр протонов, образующихся в такой кинематике в реакции  $dN \rightarrow pX$ , можно вычислять в рамках излагаемого подхода по формуле (11) или (12) в случае азимутальной симметрии конечных протонов. При этом опять остается вопрос о вкладе поправочных к рис.5, б диаграмм, т.е. графиков рис.5, а, в—д. В работах [53, 54] проводились расчеты  $\rho_{dN}$  инклюзивного процесса  $dN \rightarrow pX$ , когда протоны вылетают под углом  $\theta_p \approx 90^\circ$  в л.с. Расчеты показали, что вклад спектаторного графика рис.5, а в этом случае незначительный, так же как и диаграммы с перерассеянием нуклонов [53], а вклады диаграмм рис.5, в, г могут давать заметный вклад в определенной кинематической области, правда меньший, чем в случае  $dN$ -фрагментации. На рис.11 приведены результаты расчетов инклюзивных спектров протонов в обсуждаемой реакции при кинематических условиях, указанных выше. Импульс начальных дейтронов при этом равен  $p_d = 8,9$  ГэВ/с. Из рис.11 видно, что учет всех графиков рис.5 не позволяет описать имеющиеся экспериментальные данные при  $p > 5$  ГэВ/с или  $x > 0,7+0,8$ . Как указывалось выше при описании инклюзивного спектра протонов, образующихся в  $dp$ -стриппинге, возникает расхождение рассчитанных и

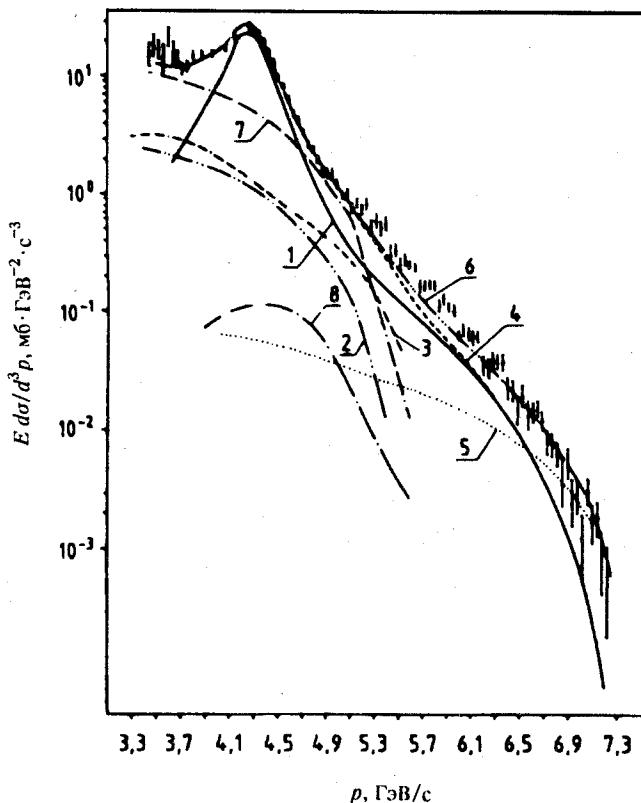


Рис.11. Зависимость инклюзивного инвариантного спектра  $E \frac{d\sigma}{d^3p}$  в реакции  $dp \rightarrow pX$  от импульса протонов, испущенных под углом  $\theta^* = 90^\circ$  в с.ц.м.  $NN$  при  $p_d = 9$  ГэВ/с. Кривые: 1 — вклад диаграммы рис.5,б, соответствующей жесткому  $NN$ -рассеянию; 2 — вклад диаграммы рис.5,в с «мягким» формфактором  $\pi$ -мезона [53]; 3 — вклад диаграммы рис.5,д; 4 — вклад всех диаграмм рис.5, а—д с ВФД  $\Phi_{u,p}$  типа [67]; 5 — вклад ненуклонных степеней свободы в дейтроне, вычисленный в [53]; 6 — полный вклад диаграмм рис.5 с учетом новой дейтронной функции  $T_d$  вида (25) [53,60].  
Экспериментальные данные взяты из [5]

экспериментальных данных также при больших  $x$  ( $x > 0,8$ ). Поэтому в [60] была сделана попытка ввести некое эффективное распределение бесцветных трехкварковых кластеров в ядре, в частности, в дейтроне, учитывающее ненуклонные степени свободы в нем. На рис.11 кривая 5

соответствует учету таких ненуклонных эффектов в дейтроне [53]. Более подробно мы обсудим эту проблему в следующем разделе.

Итак, подытожим изложенное в этом разделе, где рассматривался механизм  $dp$ -взаимодействия при высоких энергиях в рамках диаграммной техники Вайнберга. Из анализа спектров протонов и во фрагментации  $dN \rightarrow pX$ , и в случае, когда протоны вылетают под большими углами в системе покоя дейтрона, следует, что одним простейшим импульсным приближением ограничиться нельзя при описании этих спектров. В области  $0,6 < x < 0,8$ , как видно из рис.11, довольно заметный вклад дают другие диаграммы рис.5,в—д. Причем заметим, что отдельные графики рис.5 дают разные вклады в спектры протонов от фрагментации дейтрона и от жесткого рассеяния, как видно из рис.6 и рис.11. Так, например, диаграммы рис.5,в с поглощением виртуального мезона нуклоном дают больший вклад в спектр протонов от фрагментации дейтрона, чем в случае «жесткого»  $dN$ -рассеяния (сравни рис.6 и рис.11).

Однако при  $x > 0,8$  в обоих рассмотренных случаях главный вклад в спектры протонов дает импульсное приближение, т.е. графики рис.5,а,б, как видно из рис.6 и рис.11, которое не позволяет описать экспериментальные данные. Последнее может быть связано с возможным проявлением ненуклонных степеней свободы в дейтроне.

#### 4. НЕНУКЛОННЫЕ СТЕПЕНИ СВОБОДЫ В ДЕЙТРОНЕ

Процессы фрагментации дейтрона при высоких энергиях обычно исследуются с целью извлечения новой информации о структуре дейтрона, особенно на малых расстояниях или при больших внутридейтронных импульсах  $k$ . Но, как показано в предыдущем разделе, механизм  $dN$ -реакции с вылетом высокоэнергичных протонов нельзя свести к простому импульсному приближению при не очень больших  $x$ ,  $x < 0,8$ . Спектаторный механизм доминирует при малых ( $k < 0,2$  ГэВ/с) и больших  $k$  ( $k > 0,6$  ГэВ/с,  $x > 0,8$ ) в реакциях  $dp$ -стриппинга, как видно из рис.6,б. Поэтому только в этих кинематических областях спектр протонов пропорционален квадрату волновой функции дейтрона, который определяет распределение нуклонов в дейтроне [35,34]:

$$G_{N/d} = |\Psi(x, k_\perp)|^2 / (2(1 - x)).$$

Итак, при больших  $x$  в процессе стриппинга  $dp \rightarrow pX$  спектр кумулятивных протонов при  $x > 0,8$  в основном определяется спектаторной диаграммой рис.5,а, т.е. в этой области

$$\rho_{dN} \approx \frac{|\Psi(x, k_\perp)|^2}{2(1-x)} \sigma_{NN}^{\text{tot}} \equiv x G_{N/d}(x, k_\perp) \sigma_{NN}^{\text{tot}}; \quad (24)$$

при этом функция распределения нуклонов в дейтроне  $G_{N/d}(x, k_\perp)$  определялась, как в [5—7, 53, 60].

Но, как видно из рис.6,в, выражение (24) для  $\rho_{dN}$  не описывает спектр протонов в стриппинге  $dp \rightarrow pX$  при  $x > 0,85$ . Поэтому, используя связь (24)  $\rho_{dN}$  с  $G_{N/d}$ , можно ввести новую функцию:

$$T_d(x, k_\perp) = (1 - \omega) G_{N/d}(x, k_\perp) + \omega \tilde{T}_d(x, k_\perp), \quad (25)$$

которая при подстановке в (24) или (11) вместо  $G_{N/d}(x, k_\perp)$  позволила бы описать экспериментальные данные, представленные на рис.6,в и рис.11 вблизи кинематической границы. При этом  $\omega$  — некий параметр, величину которого можно определить из экспериментальных данных, как это сделано в [60].

Известно, что в области предельной фрагментации ядер и при  $x' = p'/p_{\max} > 1$  в [55] предсказывался и далее экспериментально был обнаружен [1] большой вклад частиц, названных впоследствии кумулятивными [1, 8, 56] (здесь  $p'$  — импульс адрона, образующегося в  $hA$ -столкновении,  $p_{\max}$  — максимальный импульс этого же адрона, но рожденного в  $hN$ -соударении на свободном нуклоне).

Как показано в [2, 57], обычное ферми-движение нуклонов в ядре не может объяснить довольно большое сечение образования кумулятивных частиц при больших  $x'$ , и требуется ввести гипотезу либо о наличии в ядре многокварковых флюктонах [2, 4, 58], либо короткодействующих макронуклонных корреляций [18, 30]. Эффективное распределение нуклонов в ядре  $T_A$  в этих случаях можно представить в виде [4, 60]:

$$T_A(\alpha) = \sum_{k=1}^A P_k^A T_k(\alpha), \quad (26)$$

где  $P_k^A$  — вероятность  $3k$ -кварковой (или  $k$ -нуклонной корреляции), а  $T_k(\alpha)$  — эффективное распределение «нуклонов» или  $3q$ -бесцветных кластеров в таком образовании.

Попытаемся теперь определить аналитический вид  $T_A(\alpha)$  по крайней мере при больших  $\alpha$  ( $\alpha > 1$ ), при малых  $\alpha$  ( $\alpha < 1$ )  $T_A(\alpha)$  совпадает, как указывалось выше, с обычным ферми-распределением нуклонов в ядре  $G_{N/A}$ . Для этого, согласно (26), нам нужно определить вид  $T_k(\alpha)$ .

Распределение夸克ов в ядре  $q_A(x')$  можно связать с распределением夸克ов в нуклоне следующим образом [60]:

$$q_A(x') = \int_{x'}^A T_A(\alpha) q_N(x'/\alpha) d\alpha. \quad (27)$$

Отсюда для распределения夸克ов в  $3k$ -кварковой бесцветной системе имеем

$$q_k(x') = \int_{x'}^k T_k(\alpha) q_N(x'/\alpha) d\alpha. \quad (28)$$

Теперь определим вид  $q_k(x')$  при больших  $x'$  ( $x' > 1$ ) из реджевского поведения этой кварковой структурной функции при  $x' \rightarrow k$ . Такое поведение определяется вероятностью того, что один из夸克ов  $k$ -клusters быстрый, т.е. уносит почти весь его импульс, а остальные — медленные. Вычисляя эту вероятность в рамках модели кварк-глюонных струн (МКГС) [59], можно получить следующее выражение для кваркового распределения [60]:

$$q_k(x') \sim x_k^{-\alpha_R(0)} (1 - x_k)^{2(1 - \bar{\alpha}_B(0))(k-1) + b_N},$$

$$b_N = \alpha_R(0) - 2\bar{\alpha}_N(0),$$

где  $x_k = x'/k$ ;  $\bar{\alpha}_N(0) = -0,5$ ;  $\alpha_R(0) = 0,5$ ;  $\bar{\alpha}_B(0) = -0,5+0,0$ ;  $\alpha_R(0)$ ,  $\alpha_N(0)$ ,  $\bar{\alpha}_B(0)$  — пересечения бозонных  $(\rho, f, A_2, \omega)$ , усредненной нуклонной и усредненной барионной  $(N, \Delta)$  траекторий Редже. При этом слагаемое  $b_N = \alpha_R(0) - 2\bar{\alpha}_N(0) \approx 3/2$  в показателе  $q_k(x')$  соответствует распределению валентных夸克ов в нуклоне [59], а дополнительный множитель  $(1 - x_k)^{2(1 - \bar{\alpha}_B(0))(k-1)}$  связан с вероятностью замедления  $(k-1)$  нуклонов (夸克ов и диквакров) [59]. Теперь, подставляя  $q_k(x')$  в (26), приближенно при больших  $\alpha$  имеем

$$T_k(\alpha) = C_k \alpha^{A_k} (k - \alpha)^{B_k}, \quad (29)$$

при этом  $B_k = 2(1 - \bar{\alpha}_B(0))(k-1) - 1$ . Величины  $A_k$ ,  $C_k$  определяются из условий нормировки:

$$\int_0^A T_k(\alpha) d\alpha = 1; \quad \int_0^A \alpha T_k(\alpha) d\alpha = 1 - \Delta_k,$$

которые следуют из условия нормировки  $T_A(\alpha)$ , приведенного выше. Здесь  $\Delta_k$  определяют величину импульса так называемого коллективного моря в  $k$ -флуктоне [60, 61], т.е. распределения морских кварков в нем. Это распределение существенно отличается от соответствующего распределения морских кварков в свободном нуклоне.

Перейдем теперь к анализу структурной функции дейтрана и функции  $T_d(\alpha)$ . Согласно (26):

$$T_d(\alpha) = P_1^d T_1(\alpha) + P_2^d T_2(\alpha). \quad (30)$$

Сравнивая выражения (25) и (30), имеем

$$P_1^d = 1 - \omega; \quad P_2^d = \omega; \quad T_1 = G_{N/d}; \quad T_2 = \tilde{T}_d; \quad \text{т.е. } P_1^d = 1 - P_2^d.$$

Здесь  $P_1^d$  — вероятность того, что дейтрон состоит из обычных нуклонов,  $P_2^d$  — вероятность существования в дейтране ненуклонных состояний [60].

Функциональный вид  $T_2(\alpha)$  определяется теперь выражением (29) при  $k = 2$ . Величины  $P_2^d, \Delta_2, \bar{\alpha}_B^{(0)}$  мы определяем как параметры.

Итак, согласно (24), инвариантный спектр протонов, рожденных в процессе стриппинга дейтрана  $dp \rightarrow pX$  при больших  $\alpha$  ( $\alpha > 2 \cdot 0,85$ , т.е.  $\alpha > 1,7$ ), можно определить как

$$\rho_{dN}(\alpha) \sim \alpha T_d(\alpha) \sigma_{NN}^{\text{tot}}. \quad (31)$$

Из экспериментальных данных о  $\rho_{dN}$  определялись параметры функции  $T_d(\alpha)$ , фитировались [60] данные о стриппинге дейтрана [3, 41, 62, 63]  $dp \rightarrow pX$ . В качестве скейлинговой переменной использовалась  $x_S$ , так называемая переменная Ставинского [8], которая учитывает тот факт, что энергия начальной частицы не бесконечна, а имеет определенное конечное значение, при этом, согласно (24),

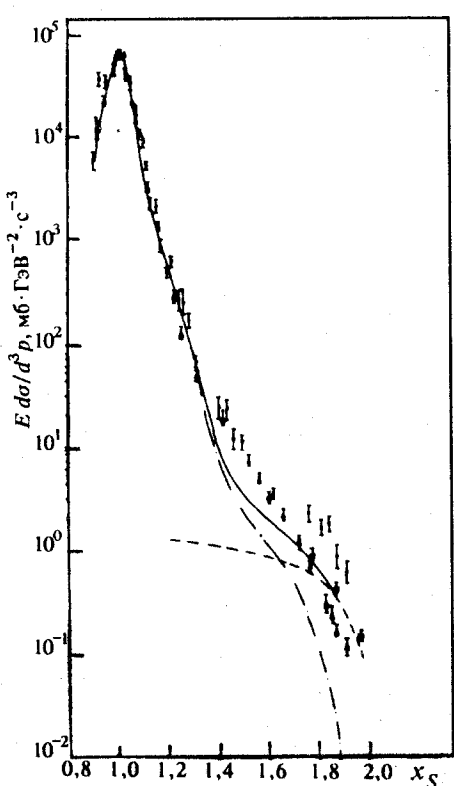
$$T_1(x_S) = G_{N/d}(x_S/2) = \frac{|\Psi(x_S/2)|^2}{2(1 - x_S/2)}. \quad (32)$$

Заметим, что экспериментальные данные о  $E d\sigma / d^3p$  имеют разные нормировочные коэффициенты. Поэтому они задают только форму инклюзивного спектра протонов. Поскольку  $T_d(\alpha)$  определяет только форму импульсного спектра, то каждая группа данных фитируется по формуле (31) со своим нормировочным коэффициентом. Эти экспериментальные данные (поправленные на соответствующие ко-

эффициенты, т.е. совпадающие по величине при  $x_S/2 = 0,5$ ) и полученные фитированием кривые представлены на рис.12. Значения параметров оказались следующими:

$$\bar{\alpha}_B(0) = -0,05; \Delta_2 = 0,34; P_2^d = 3,6\%.$$

Заметим, что фитировалась только высокоэнергетическая часть спектра (т.е. при  $x_S/2 > 0,85$ , когда справедливо соотношение (31)), которая описывается, в основном,  $T_2(x_S)$ . Другими словами, фитировалась из всей  $T_d(x_S)$ , определяемой (30), только ее часть  $T_2(x_S)$ , чтобы описать только спектр при  $x_S/2 > 0,85$ , поскольку при  $x_S/2 < 0,85$  спектр описывается не только спектаторным механизмом, но и диаграммами, рассмотренными в предыдущем разделе. Поэтому расхождение данных на рис.12 со сплошной кривой, рассчитанной в спектаторном механизме, при  $0,7 < x_S/2 < 0,85$  объясняется, как было показано в разд.1,2, неучтенными здесь диаграммами.



Обратимся теперь к структурной функции ядра  $F_A$ . В классической потенциальной картине ядра любая структурная функция выражается через распределение нуклонов  $T_A$  в ядре и структурную функцию нуклона  $F_N$ . В нашем случае в качестве  $T_A$  выступает, как уже указывалось выше, некое эффективное распределение бесцветных  $3q$ -кластеров («нуклонов»). Такую связь между  $F_A$  и  $F_N$

Рис.12. Инклозивный протонный спектр в реакции  $pd \rightarrow pX$ , когда протоны вылетают под углом  $\theta_p = 180^\circ$  в системе покоя дейтерона. Штрихпунктирная кривая — вклад спектаторного механизма (рис.5,а); сплошная — вклад диаграммы рис.5,а, но с функцией  $T_d$  (25); штриховая — вклад только непнуклонной компоненты в дейтероне. Экспериментальные данные — см. ссылки [60].

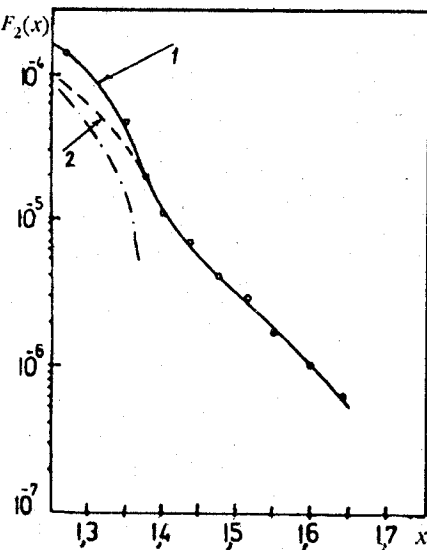
можно записать в виде так называемой мелиновской свертки [60, 61]:

$$F_A(x_B, Q^2) = \int_{x_B}^A T_A(\alpha) F_N\left(\frac{x_B}{\alpha}, Q^2\right) d\alpha. \quad (33)$$

Используя найденное эффективное распределение нуклонов в дейтроне, проверим теперь справедливость соотношения (33) для структурной функции дейтрана  $F_{2d}$ . Будем использовать данные SLAC [66] в области бьеркеновской переменной  $x_B \geq 1$  при  $Q^2 = 2+8 \text{ (ГэВ/c)}^2$ . Результаты такого исследования представлены на рис.13. Первые две экспериментальные точки на рисунке при  $x_B = 1,27$ ,  $x_B = 1,35$  соответствуют  $Q^2 < 4 \text{ (ГэВ/c)}^2$ , а остальные —  $Q^2 > 4 \text{ (ГэВ/c)}^2$ . Поэтому при вычислении  $F_{2d}$  по (33) для  $F_{2N}$  использовалась параметризация [62], справедливая при  $Q^2 < 4 \text{ (ГэВ/c)}^2$ ,  $x < 1,4$ , и параметризация [63] при  $Q^2 > 4 \text{ (ГэВ/c)}^2$ ,  $x > 1,4$  (сплошная кривая рис.13). Штрихпунктирная кривая соответствует учету только нуклонной компоненты в ВФД, т.е.  $P_2^d = 0$  (30), в качестве  $\Psi$  бралась парижская ВФД [68]. Видно, что в области  $x_B > 1$  согласие оказывается достаточно хорошим в пределах экспериментальных ошибок, что и позволяет сделать заключение о близости функции  $T_d$  к эффективному распределению нуклонов в дейтроне.

Проверим теперь, как изменится результат вычисления спектра протонов в реакции  $dp \rightarrow pX$ , когда proton рассеивается под большим углом в с.ц.м.  $NN$  при больших  $x$ , если в выражение (11) подставить вместо  $G_{N/d}$ , введенной в (24), функцию

Рис.13. Структурная функция  $F_{2d}(x)$ . Кривые: штрихпунктирная — расчет с парижской ВФД [68] и  $P_2=0$ . Остальные кривые — результат расчета  $F_{2d}(x)$  с учетом ненуклонной компоненты в дейтроне,  $P_2^d \approx 3,6\%$  [60]: 1 — с параметризацией  $F_{2N}$  типа [62] при  $Q^2 < 4 \text{ (ГэВ/c)}^2$ , 2 — с параметризацией  $F_{2N}$  типа [63] при  $Q^2 > 4 \text{ (ГэВ/c)}^2$ . Сплошная кривая — результат соединения кривых 1 и 2; точки — экспериментальные данные SLAC [66]



$T_d$ . Внутренним поперечным движением кварков при этом пренебрежем. На рис.11 кривая 5 показывает вклад  $T_2(x')$  в импульсный инклюзивный спектр протонов. Видно, что согласие расчетов на рис.11 с экспериментальными данными намного улучшается при  $p > 6,5$  ГэВ/с или  $x_S/2 > 0,8$ . Таким образом, найденная функция  $T_d$  из процесса стриппинга дейтрона позволила описать данные об образовании протонов в процессе  $dp \rightarrow pX$  при больших  $x$ , когда они вылетают под большими углами в с.ц.м. двух нуклонов.

Мы рассмотрели только один из возможных подходов к исследованию дейтрона при анализе процессов фрагментации дейтрона, предложенный ранее в [60,61]. В действительности существует ряд других подходов к исследованию ненуклонной структуры дейтрона. Опубликован целый ряд обзоров на эту тему [2,4,58,8], поэтому не будем на этом подробно останавливаться. Здесь только отметим проблему, с которой можно столкнуться при анализе шестикварковых состояний в дейтроне, связанную с релятивистскими эффектами в нем. В некоторых модельных подходах, исследующих кварковую структуру дейтрона, анализ проводится в рамках нерелятивистского приближения [14], т.е. релятивистские эффекты в дейтроне полностью игнорируются. Важность учета релятивистских эффектов в дейтроне можно продемонстрировать на примере так называемой минимальной релятивизации дейтронной волновой функции [66,67]. В конце 50-х годов И.С.Шапиро показал [66], что в общем релятивистском случае трансформационные свойства ВФ свободной бессpinовой частицы отличаются от нерелятивистского случая. Другими словами, ВФ в координатном пространстве связана с ВФ в импульсном пространстве следующим образом [66]:

$$\tilde{\Psi}(p) = \frac{1}{(2\pi)^{3/2}} \int \xi(p, r) \Psi(r) d^3r, \quad (34)$$

$$\xi(p, r) = \left( \frac{\omega_p - pr_0}{m} \right)^{1-i|m|r}, \quad (35)$$

здесь  $r_0 = r/|r|$ ;  $\omega_p = (p^2 + m^2)^{1/2}$ .

Волновая функция  $\tilde{\Psi}(p)$ , связанная с  $\Psi(r)$  выражениями (34), (35), обладает следующими свойствами:

- 1) преобразуется по неприводимому представлению группы Лоренца;
- 2) имеет инвариантную нормировку [70];
- 3) превращается в обычное фурье-преобразование в нерелятивистском случае, т.е. при  $r \rightarrow \infty$  функция  $\xi(p, r)$  переходит в  $\exp(i \vec{p} \cdot \vec{r})$ .

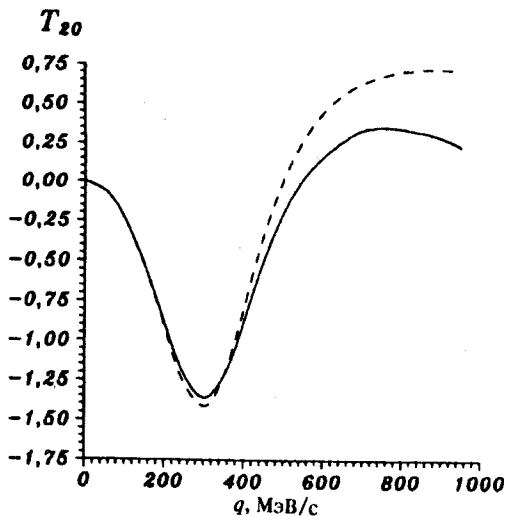


Рис.14. Зависимость  $T_{20}$  от импульса  $q$  нуклона-спектатора в реакции стриппинга  $dp \rightarrow pX$  при  $p_d \approx 9$  ГэВ/с. Сплошная кривая представляет результат вычисления в рамках спектаторного механизма (рис.5а) с релятивизованной парижской ВФД [68]. Штриховая — с нерелятивизированной ВФД того же типа [68]

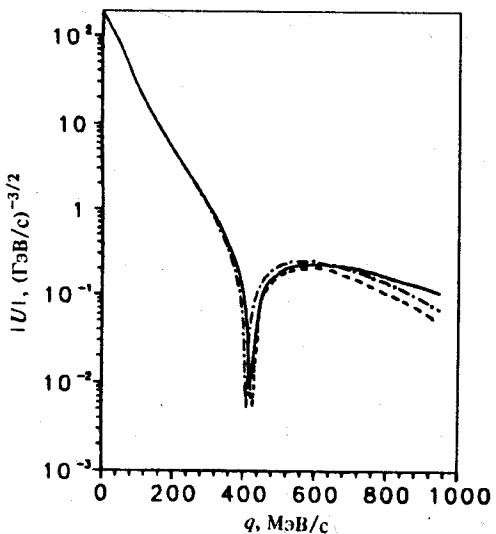


Рис.15. Импульсное распределение  $S$ -волны парижской ВФД. Штриховая кривая — расчет с нерелятивистской ДВФ; сплошная — с релятивизированной [69] ВФД; штрихопунктирная линия соответствует  $S$ -волне парижской ВФД, но с учетом  $6q$ -компоненты [76] в рамках гибридной кварковой модели [14]

А теперь посмотрим, к чему приводит при вычислении наблюдаемых величин замена нерелятивистского фурье-преобразования ВФ на преобразования вида (34) в поведении, например,  $T_{20}$  в стриппинге  $dp \rightarrow pX$  и самой ВФД.

На рис.14 продемонстрирована чувствительность  $T_{20}$  к различным способам преобразования  $\Psi(r)$  (Фурье и Шапиро). При этом вычисления

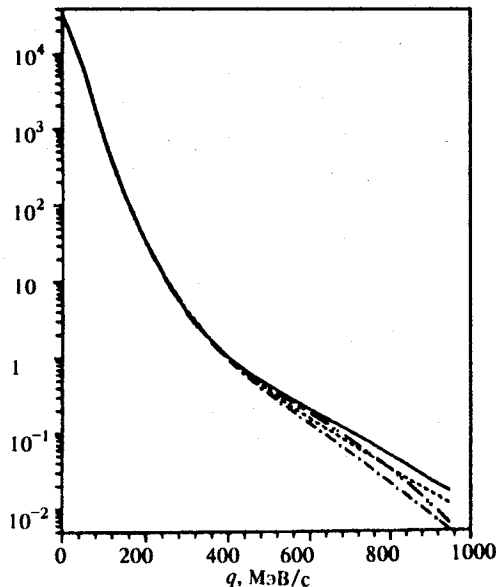


Рис.16. Импульсное распределение нуклонов в дейтроне, т.е.  $|\Psi|^2$  в ед. ГэВ<sup>-3</sup>. Штриховая и штрихпунктирная кривые — расчет с нерелятивистскими ВФД — парижской и боннерской соответственно. Сплошная и штриховая с двумя точками линии — расчет с теми же ВФД, но релятивизованными соответственно

ской ВФД [68] (штриховая кривая). Штрихпунктирная линия на рис.15 соответствует поведению  $S$ -волны ВФД, которое вычислено в рамках гибридной кварковой модели [14, 76] с парижским потенциалом [68], при этом вес шестиварковой компоненты в дейтроне равен 2,5% [76]. Сплошная линия на рис.15 соответствует импульсному распределению  $S$ -волны ВФД  $\tilde{\psi}(p)$ , полученной с помощью преобразования Шапиро (34) из парижской ВФД в  $r$ -пространстве. Таким образом, из этого рисунка видно, что «минимальная релятивизация» ВФД имитирует поведение ВФД в гибридной кварковой модели [14] с нерелятивистским потенциалом, особенно в области  $q \approx 0,4$  ГэВ/с. Поэтому ясно, что только при корректном описании внутренней структуры релятивистской системы, в частности дейтрана, можно понять реальный вклад шестиварковой конфигурации в ВФД.

На рис.16 приведены импульсные распределения, нерелятивистские  $\Psi(q)$  и релятивизованные  $\tilde{\Psi}(q)$ , различных ВФД (парижской и боннерской [72]). Из него видно, что эффект «минимальной релятивизации» может быть довольно большим при  $q > 0,4$  ГэВ/с. Из рис.16 также видно, что преобразование Шапиро ведет к обогащению высокоимпульсной компоненты ВФД. На это указывалось и в [73].

Конечно, необходимо отметить, что одно преобразование Шапиро  $\Psi(r)$  не может быть решением проблемы релятивизации ВФ связанного состояния. Однако продемонстрированная чувствительность различных

$T_{20}$  проводились в рамках спектаторного механизма. Из него видно, что эффект «минимальной релятивизации» дает сдвиг в поведении  $T_{20}$  в область больших  $q$ ,  $q \geq 0,4$  ГэВ/с. На рис.15 приведено импульсное распределение  $S$ -волны париж-

физических величин к разным преобразованиям  $\Psi(r)$  (см. рис.14—16) указывает на исключительную важность учета релятивистских эффектов в дейтроне, особенно при  $q > 0,4$  ГэВ/с или малых  $r$  ( $r < 0,5$  фм).

## 5. ПЕРСПЕКТИВЫ ТЕОРЕТИЧЕСКОГО И ЭКСПЕРИМЕНТАЛЬНОГО ИССЛЕДОВАНИЯ СТРУКТУРЫ ДЕЙТРОНА

Вначале подведем итог изложенному в предыдущих разделах.

1. Крайне некорректно использовать нерелятивистскую волновую функцию дейтрона при анализе  $dN$ -процессов типа фрагментации или жесткого  $NN$ -взаимодействия. Релятивистские эффекты особенно важны в кинематической области, соответствующей малым внутридейтронным расстояниям  $r$ .

2. На сегодняшний день состояние теории таково, что до сих пор не найдено однозначной процедуры учета релятивистских эффектов в дейтроне. К разным методам релятивизации ВФД оказываются чрезвычайно чувствительными поляризационные характеристики в инклузивных и эксклюзивных  $d \rightarrow N$  реакциях, особенно при больших внутридейтронных импульсах. А импульсные спектры протонов, рожденных в таких процессах, менее чувствительны к ним.

3. Нерелятивистские кварковые модели типа, например, гибридной, использующие нерелятивистские потенциалы, могут искажать информацию о кварковой структуре дейтрона, особенно на малых расстояниях,  $r < 0,5$  фм, из-за неучета важных в этой области релятивистских эффектов в дейтроне. Это иллюстрируется результатами расчетов, представленных на рис.12—14 в разд.4.

4. Анализ механизма  $d \rightarrow N$  реакций при высоких энергиях показывает, что совершенно недостаточно ограничиваться рассмотрением только полюсного приближения. Вклады неполюсных диаграмм — перерассеяние нуклонов или мезонов в промежуточном состоянии, диаграммы с поглощением виртуальных мезонов нуклоном — могут быть сравнимы с вкладом полюсных диаграмм, особенно при  $0,6 < x < 0,8$ .

5. Все наблюдаемые величины в рассмотренных  $d \rightarrow N$  процессах, и особенно поляризационные явления, чувствительны к механизму реакции при  $x < 0,8$ .

6. При  $x > 0,8$ , как показывает анализ процессов  $d \rightarrow N$ , стриппинга и «жесткого»  $dN$ -рассеяния, вклады неполюсных диаграмм постепенно вымирают и главный вклад, по крайней мере в импульсные спектры протонов, дают полюсные или диаграммы однократного  $NN$ -взаимодействия.

Однако последние не описывают имеющиеся экспериментальные данные при  $x > 0,8$ .

7. Учет ненуклонных степеней свободы в дейтроне, возможно, позволяет описать экспериментальные данные о спектрах протонов при  $x > 0,8$ . Однако это не может быть прямым однозначным доказательством их существования, поскольку существуют другие альтернативные объяснения высокомомпульсной части спектра протонов [71, 72].

8. В то же время эти ненуклонные степени свободы в дейтроне чрезвычайно важны для описания спектров кумулятивных мезонов уже при  $x' > 1$  [60], т.е.  $x > 0,5$ . Обычное распределение нуклонов в дейтроне, например, типа [67, 68], не позволяет описать инклюзивные спектры мезонов, рожденных в  $p\bar{p}$ -взаимодействиях в кумулятивной области, т.е.  $x' > 1$  ( $x > 0,5$ ), как отчетливо показано в [2, 57].

Исходя из всего сказанного выше, можно заключить, что наиболее благоприятная кинематическая область исследования структуры дейтрана в  $dN$ -процессах — большие импульсы рассеянных протонов ( $x > 0,7+0,8$ ) или рожденных адронов ( $x' = 2x > 1$ ). На сегодняшний день, к сожалению, скучна экспериментальная информация о спектрах кумулятивных протонов, образующихся в реакции  $d\bar{p} \rightarrow pX$ , при  $x > 0,7+0,8$ . Поэтому крайне желательно иметь такие данные, и не только при  $\theta_p \approx 180^\circ$  в системе покоя дейтрана [72], но и под разными углами. Это необходимо, с одной стороны, для возможного извлечения нетривиальной информации о структуре дейтрана на малых внутриддейтрановых расстояниях из этих данных, а с другой — для проверки предсказаний разных теоретических моделей.

Особого внимания заслуживает изучение поляризационных явлений в  $d\bar{p}$ -взаимодействиях, как неупругих, так и упругих, поскольку, как показано в разд.3 и в [17, 35, 36], поляризационные характеристики чрезвычайно чувствительны к структуре дейтрана, особенно при больших внутриддейтрановых импульсах или малых межнуклонных расстояниях. Экспериментальная информация о таких явлениях в реакциях, например, стриппинга дейтрана, довольно скучная при  $k > 0,7+0,8$  ГэВ/с. Имеются лишь экспериментальные данные о  $T_{20}$  [41] в этой кинематической области и то с большими ошибками. Постановка наиболее полного опыта, предложенного в [63], т.е. измерения импульсного спектра протонов,  $T_{20}$ , других поляризационных характеристик, например, передачи поляризации  $\kappa = \vec{\mathcal{P}}'/\vec{\mathcal{P}}$ , корреляций поляризаций и т.д., особенно в области больших  $k$ , позволила бы извлечь новую информацию о структуре дейтрана на малых межнуклонных расстояниях. Для этой цели довольно интересными представляются нам измерения наблюдаемых величин в

эксклюзивных экспериментах. При этом желательно иметь большие энергии начальных частиц, чтобы исследовать  $dp$ -процессы, например, типа фрагментации дейтрана при больших внутридейтронных импульсах либо типа «жесткого»  $dp$ -рассеяния при больших передачах  $t$ .

Исследование  $dp$ -процессов при энергиях, например,  $T_d \lesssim 4+5$  ГэВ, как следует из изложенного выше, скорее может дать дополнительную информацию о механизме реакции, чем о его структуре. Это можно объяснить тем, что при таких начальных энергиях невозможно проникнуть на малые внутридейтронные расстояния, например,  $r_N < 0,5$  фм. В связи с этим кратко остановимся на одном из проектов новых экспериментов в Юлихе, где планируется измерять наблюдаемые величины в реакции  $pd \rightarrow ppn$  при  $T_p \lesssim 2,5$  ГэВ, когда один из регистрируемых протонов вылетает вперед, а другой назад. Как видно из рис. 10, импульсный спектр протонов, вылетающих назад в такой реакции, и тензорная анализирующая способность дейтрана  $T_{20}$  качественно похожи на эти же наблюдаемые величины, но в эксклюзивной  $dp \rightarrow pX$  реакции. Поэтому выводы, сделанные для инклюзивного  $dp$ -процесса, можно применить и для эксклюзивной реакции. А это означает, что и эксклюзивный процесс  $pd \rightarrow ppn$  желательно экспериментально изучать при больших начальных энергиях, особенно при таких, чтобы можно было измерить спектр протонов, испущенных назад, при  $x > 0,7+0,8$ .

Но, с другой стороны, иметь экспериментальную информацию о различных наблюдаемых величинах в процессе  $pd \rightarrow ppn$  при  $T_p \lesssim 2,5$  ГэВ в постановке, упомянутой выше, полезно для изучения механизма реакции и для получения нетривиальной новой информации о внemассовых эффектах нуклонов в дейтране. Дело в том, что в кинематической области, когда один протон вылетает назад, а другой вперед, появляются сильные внemассовые эффекты, т.е.  $k_N^2 \neq m^2$ , где  $k_N$  — четырехимпульс нуклона внутри дейтрана, особенно при больших импульсах регистрируемого протона.

Помимо исследования кумулятивных процессов образования нуклонов или рождения других адронов в  $pd$ -реакциях, о чём сообщалось неоднократно [1—4, 41, 63], представляет интерес изучение подпорогового рождения частиц, например,  $K$ -мезонов,  $\eta$ -мезонов, антипротонов и т.д. Это связано с тем, что, изучая рождение таких адронов за порогом их образования в столкновении протонов на свободном нуклоне, можно получить нетривиальную информацию о структуре дейтрана, особенно при больших внутридейтронных импульсах.

В заключение хотелось бы отметить еще раз, что развитие релятивистской теории структуры дейтрана представляется очень интересным и перспективным, оно чрезвычайно важно в области малых внутридейственных расстояний.

### СПИСОК ЛИТЕРАТУРЫ

1. Балдин А.М. — ЭЧАЯ, 1977, т.8, вып. 3, с.429.
2. Лукьянов В.К., Титов А.И. — ЭЧАЯ, 1979, т.10, вып. 4, с.815.
3. Аблеев В.Г. и др. — Письма в ЖЭТФ, 1983, т.37, с.196; 1988, т.47, с.613.
4. Ефремов А.В. — ЭЧАЯ, 1982, т.13, вып. 3, с.613.
5. Ажгирей Л.С. и др. — ЯФ, 1987, т.46, с.1353.
6. Schmidt I.A., Blankenbecler R. — Phys.Rev., 1977, vol.D15, p.3321.
7. Wong Cheuk-Yin, Blankenbecler R. — Phys.Rev., 1980, vol.C22, p.2433.
8. Ставинский В.С. — ЭЧАЯ, 1979, т.10, вып. 5, с.949.
9. Arnold R.G., Carlson C.F., Gross P. — Phys.Rev., 1981, vol.C23, p.363.
10. Рекало М.П. — Труды III международного симпозиума «Пион-нуклонные и нуклон-нуклонные взаимодействия». Л., 1989, т.2, с.200.
11. Aubert J.J. et al. — Phys.Lett., 1983, vol.B123, p.275.
12. Arnold R.G. et al. — Phys.Rev.Lett., 1984, vol.52, p.727.
13. Кобушкин А.П., Шелест В.П. — ЭЧАЯ, 1983, т.14, вып.5, с.1146.
14. Neudachin V.G., Obuchovsky I.T., Kukulin V.I. et al. — Phys.Rev., 1975, vol.C11, p.128.
15. Карманов В.А. — ЭЧАЯ, 1988, т.19, вып.3, с.525.
16. Браун М.А., Токарев М.В. — ЭЧАЯ, 1991, т.22, вып.6, с.1237.
17. Долидзе М.Г., Лыкасов Г.И. — Материалы XXV Зимней школы ЛИЯФ, Л., 1990, т.3, с.187.
18. Frankfurt L.L., Strikman M.I. — Phys.Rep., 1981, vol.5, p.215.
19. Kobushkin A.P., Vizireva L.J. — J.Phys.G: Nucl.Phys., 1982, vol.6, p.893.
20. Амелин Н.С., Глаголов В.В., Лыкасов Г.И. — ЭЧАЯ, 1982, т.13, с.129.
21. Копелиович В.Б., Радоманов В.В. — Препринт ОИЯИ, Р2-671, Дубна, 1978.
22. Браун М.А., Вечерник В.В. — ЯФ, 1978, т.28, с.1466.
23. Дахно Л.Г., Никонов В.А. — ЯФ, 1989, т.50, с.1757.
24. Gross F. — Phys.Rev., 1974, vol.100, p.223.
25. Garsevanishvili V.R. — XIII Winter School of Theoretical Physics in Karpacz. 1976, v.1, p.313.
26. Кадышевский В.Г. — ЖЭТФ, 1964, т.46, № 2, с.654; № 3, с.872; Nucl.Phys., 1968, vol.B6, №2, p.125.
27. Weinberg S. — Phys.Rev., 1966, vol.150, p.1313.
28. Brodsky S.J. et al. — Phys.Rev., 1973, vol.D8, p.4574.
29. Kogut J.B., Soper D.E. — Phys.Rev., 1970, vol.1, p.2901.
30. Стрикман М.И., Франкфурт Л.Л. — ЭЧАЯ, 1980, т.11, вып.3, с.571.
31. Tjon J.A., Rupp G. — Phys.Rev., 1990, vol.C41, p.472.
32. Анисович В.В., Саранцев А.В. — Материалы XXV Зимней школы ЛИЯФ. Л., 1990, т.1, с.49.
33. Грач И.Л., Кондратюк Л.А. — ЯФ, 1984, т.39, с.316.
34. Лев Ф.М. — ЭЧАЯ, 1990, т.21, вып.5, с.1251.
35. Dololidze M.G., Lykasov G.I. — Z.Phys., 1990, vol.A336, p.339.
36. Dololidze M.G., Lykasov G.I. — Proc. of X Intern. Seminar on High Energy Physics Problems. JINR, Dubna, 1990, vol.11, p.336; Dorodnych Yu.L., Lykasov G.I. — Preprint INP No 781/92, M., 1992.

37. Grassler H. et al. — Nucl.Phys., 1978, vol.B132, p.1.
38. Akesson T., et al. — Nucl.Phys., 1982, vol.B203, p.27.
40. Амелин Н.С., Лыкасов Г.И. — ЯФ, 1978, т.28, с.1258.
41. Ableev V.G. et al. — Proc. of 7 Intern. Conf. on Polarization Phenomena in Nuclear Physics. Paris, June, 1990, v.1, p.40F.
42. Баращенков В.С., Славин Н.В. — ЭЧАЯ, 1984, т.15, с.997.
43. Пономарев Л.А. — ЭЧАЯ, 1976, т.7, с.186.
44. Dorodnych Yu.L., Neudachin V.G., Yudin N.P., Obuchovsky I.T. — Phys.Rev., 1991, vol.C43, p.2499.
45. Vasan S.S. — Phys.Rev., 1973, vol.D8, p.4092.
46. Лапидус Л.И. — ЭЧАЯ, 1984, т.15, с.493.
47. Bugg D.V., Wilkin C. — Nucl.Phys., 1987, vol.A467, p.565; Phys.Lett., 1985, vol.B152, p.37.
48. Perdrisat C.F., Punjabi V. — Phys.Rev., 1989, vol.C42, p.1899.
49. Dachno L.G., Nikonkov V.A. — Nucl.Phys., 1989, vol.A491, p.6521.
50. Perdrisat C.F. et al. — Phys.Rev.Lett., 1987, vol.59, p.2840.
51. Zarubin A.V. et al. — Proc. of Dubna — Workshop on Problems of Deuteron Structure at High Energies. JINR, E2-92-25, Dubna, 1991, p.214.
52. Perdrisat C.F. et al. — Proc. of Dubna — Workshop on Problems of Deuteron Structure at High Energies. JINR, E2-92-25, Dubna, 1992, p.179.
53. Dolidze M.G., Lykasov G.I. — Z.Phys., 1990, vol.A335, p.95.
54. Azhgirey L.S. et al. — Nucl.Phys., 1991, vol.A528, p.621.
55. Балдин А.М. — Краткие сообщения по физике. М.: ФИАН, 1971, 1, с.35.
56. Baldwin A.M. — Proc. of Rochester Meeting APS/N.Y., 1971, p.131.
57. Герасимов С.Б., Гиорданеску Н. — Сообщение ОИЯИ, Р2-7687, Дубна, 1974.
58. Буров В.В., Лукьянов В.К., Титов А.И. — ЭЧАЯ, 1984, т.15, с.1249.
59. Кайдалов А.Б. — Х Школа по физике ИТЭФ. М.: Энергоиздат, 1983, вып.2, с.3.
60. Ефремов А.В., Кайдалов А.Б., Кин В.Т. и др. — ЯФ, 1988, т.47, с.1364.
61. Ефремов А.В. — Препринт ОИЯИ, Р2-87-762, Дубна, 1987.
62. Anderson L.M. et al. — Preprint LBL, 14-330, Berkley, 1982.
63. Strokovsky E.A. et al. — Proc. of the Few Body Conference, 1991, Australia.
64. Owens R.F., Kimel J.D. — Phys.Rev., 1978, vol.D18, p.3313.
65. Efremov A.V., Bondarchenko E.A. — Preprint JINR, E2-84-124, Dubna, 1984.
66. Shutz W.P. et al. — Phys.Rev.Lett., 1977, vol.38, p.259.
67. Reid R.V. — Ann. Phys., 1968, vol.50, p.411.
68. Lacombe M. et al. — Phys.Lett., 1981, vol.B151, p.139.
69. Шапиро И.С. — ДАН СССР, 1956, т.106, с.647.
70. Kadyshevsky V.G., Mir-Kasimov R.M., Skachkov N.B. — Nuovo Cim., 1968, vol.A55, No2, p.233.
71. Dachno L.G., Nicolae N.N. — Nucl.Phys., 1985, vol.A436, p.653.
72. Lacombe M., Loiseau B., Richard J.M. et al. — Phys.Rev., 1980, vol.C21, p.861.
73. Chemob.M. — Nucl.Phys., 1979, vol.A34, p.387.
74. Kopeliovich V.B. — Phys.Rep., 1986, vol.139, p.51.
75. Балдин А.М. и др. — Сообщение ОИЯИ, Р1-11186, Дубна, 1977.
76. Dzshemuchadze S.V. et al. — Proposal for Deuteron Desintegration Study at COSY in Exclusive Experiments with Polarized Protons and Deuterons. Dubna — Julich, 1991.